

管球技術部技術報告 第202号

発表 昭和30年9月10日

報告者 岸井 賢 所属 研究科技術課

題目 Interferometer methodによる硝子の熱膨脹係数測定

内容梗概

光の干渉を利用して熱膨脹係数の測定を行ひ、測定値の再現性も良く、又正確な測定値が得られるとの確信を持つ事の出来る測定法を決定する事が出来た。次に此の方法による測定値と、現用の示差膨脹計による測定値を比較し、示差膨脹計の正確度を検討した。又、米国 Corning 社の発表値とも比較した。更に本方法の応用として、各種の sealing 用金属の熱膨脹を測定する事が出来た。以上の事から、本方法が各種の目的に対し、有用な手段である事が判明した。

全ページ数 50

配布先

1. 売工業部長殿
2. 渡藤専務殿 - 石川取締役殿 - 竹村室長殿
3. 仓石専務殿 - 山口部長殿
4. マ研 本城前長殿 - 合意室長殿
5. 特許部 井上部長殿
6. 中央図書館 三田館長殿
7. マ研 安部主任研究員殿 - 伊藤主任研究員殿
8. 塩川工場 管工場長殿 - 杉谷副工場長殿 - 射出部長殿
9. 遊芸工場 太尾工場長殿 - 二谷部長殿 - 田村課長殿
10. 小倉工場 小野塚工場長殿
11. 砂町工場 宇田工場長殿 - 加瀬課長殿
12. 管球技術部 久野部長殿
13. " 中西副部長殿
14. " 潤崎副部長殿
15. " 上田課長殿
16. " 新庄課長殿
17. 報告者

18. 進行担当課 (標準課) 19. 30. 21. 22. 23. Extra Copy

充行者 管球工業部 管球技術部長 久野 坦治
(昭和30年9月10日受付)

内 容 目 次

§1. 緒 言	1
§2. 実験の目的	1
§3. Interferometer Method の特徴	1
§4. 実験装置	1
§5. 試料の形状と調整の方法	3
§6. 光 源	4
§7. 温度の測定法とその精度	5
§8. 干渉鏡の移動量の測定方法とその精度	6
§9. 試料の長さの測定法	6
a. Screw Micrometer による方法	6
b. 合致法による試料の長さの測定	8
1. 補助試料	8
2. Screw Micrometer の較正	8
3. 干渉鏡の次数の小数点以下の読取法	10
4. 光の波長の補正	11
5. 計算の方法	11
6. 計算の方法についての説明	15
7. 計算の方法についての討論	16
c. 改良された合致法の測定 計算	17
§10. 熱膨脹係数の測定法	19
§11. 計 算	20
§12. 熱膨脹係数測定の精度	20
§13. 試料の形状が測定精度に及ぼす影響	21
a. 塔形試料	22
b. 角錐形試料	22
c. 輪形試料	24
d. 板形試料	24
e. 試料の形状についての討論	25
§14. 実測の場合の測定精度の検討	25
a. LM-2 硝子標準管についての測定 I	26

§ 1. 緒言

硝子の熱膨脹を、光の干渉を利用して膨脹計で測定する事を試み、充分な正確度で測定出来る様になりました。以下にその結果を報告する。

§ 2. 実験の目的

本実験の目的は、現在硝子の熱膨脹係数測定に使用されている装置を、常に正確な測定値が得られる状態に保つ事であつて、その手段として、正確な値が得られる確実出来る測定方法を決定し、此の方法により正確な膨脹係数が定められた標準試料を得て、他の膨脹計による標準試料の測定値と比較したいと考えたのである。

此の目的は、略完全に達する事が出来たが、同時に、此の方法を各種の目的に応用して、何れも良い結果が得られた。

§ 3. Interferometer Method の特徴

本実験の目的を達する方法として、Interferometer Method を選んだ理由は、次の通りである。

1. 試料の熱膨脹の大きさを、光の波長を基準にして測定しているため、notch caliper, dial indicator 等を使用して、拡大指示させる方法に比べ、正確で精密である。

2. 試料が比較的小さいため、試料の長さを精密に求める事が出来る。

3. 試料が小さいため、試料の位置に於ける温度分布を、一概にする事が容易で、温度分布の外気の温度による変化を防げると同時に、試料の温度を正確に測定出来る。

4. 示差膨脹計の様に、標準物質を必要とする事なく、逆に示差膨脅計に使用されている標準物質の熱膨脹を測定出来る。

以上の様な特徴を有しているため、必要な注意を拂つて測定すれば、熱膨脹係数の正確な値が測定されるものと予想される。

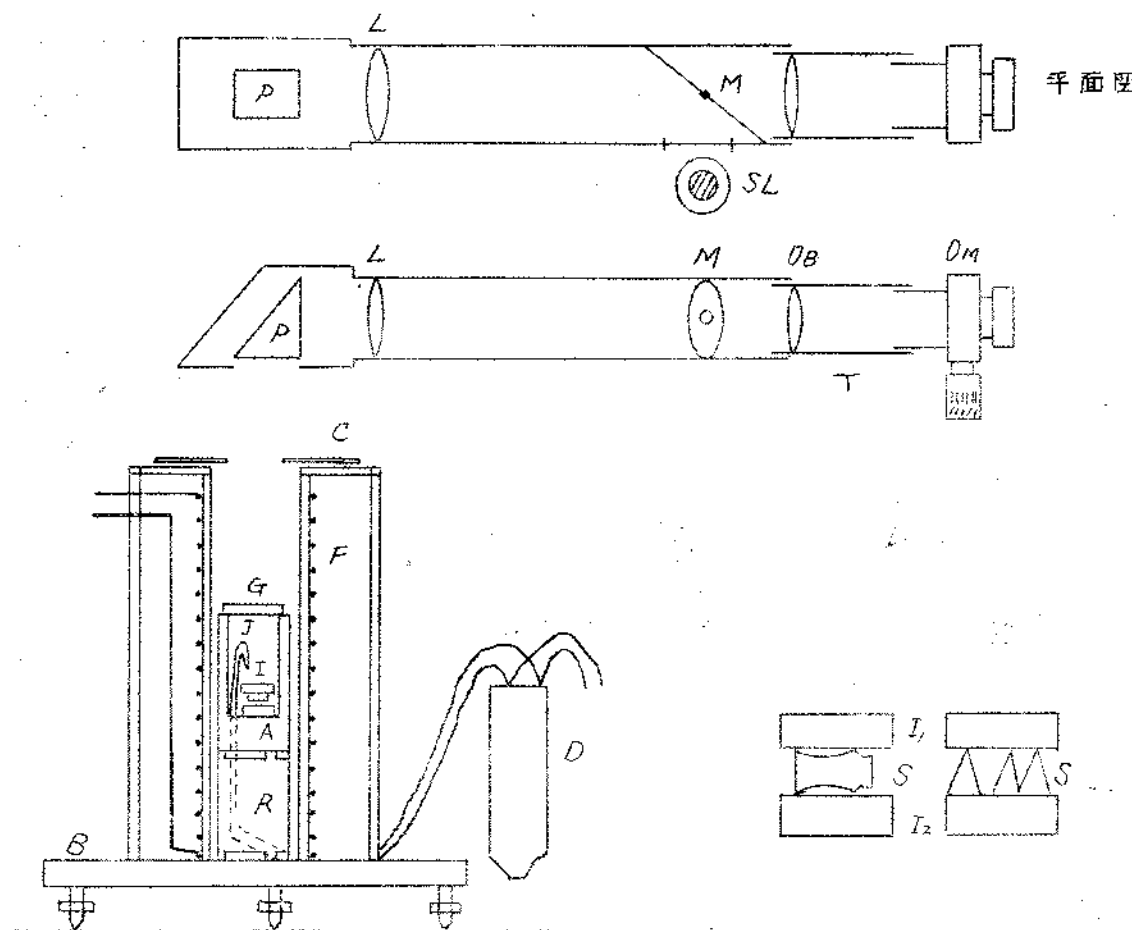
§ 4. 実験装置

Interferometer Method による熱膨脹係数の測定については、National Bureau of Standard の Merritt, Saunders 等⁽¹⁾⁽²⁾による詳細な記述がある。我々の使用した装置、方法は藤北等の論文のものと同様である。

Interferometer Method とは、二枚の平面硝子板の間に試料を挟み、試料の形を適当にする事により、二枚の平面硝子板の相対する二面を平行に近くして、此の二面の間に等厚の干渉⁽³⁾を起させるものである。而して試料の熱膨脹について、二面の間の距離が変化し、干渉縞が移動するのを観察し、縞の移動量から試料の熱膨脹を算出する。

本実験の装置を Fig. 1 に示す。

Fig. 1 実験装置



ンポ、Cd-ランプを使用した。

J Pt-Pt 13%Rh 熱電対

M 平面鏡で、SL の光をしの方向へ差めると共に、Iから反射した光を、その中央にある、銀鏡をはがして作った小孔から、Tの方へ送り、干涉図を現出させる役目をする。

OB $f=9\text{cm}$, 及び 5cm のものの干涉図の幅、明暗度によって、何れか適当なものを使用する。

R Aの熱電線をよくするために使用する。

C 容器内の空気の対流を妨げる。

IJK Terex 製のもの、及び板硝子製のもの二種を使用した。大きさは、Terex 製のものの $25\text{mm}\phi \times 5\text{mm}$ 、板硝子製のもの $30\text{mm}\phi \times 2\text{mm}$ である。平面度は、二面を合せた時、Newton Ring 二箇以内である。但し、Terex 製のものは干涉図が多めよろけるが、板硝子製のものは非常に平面度が良好である。

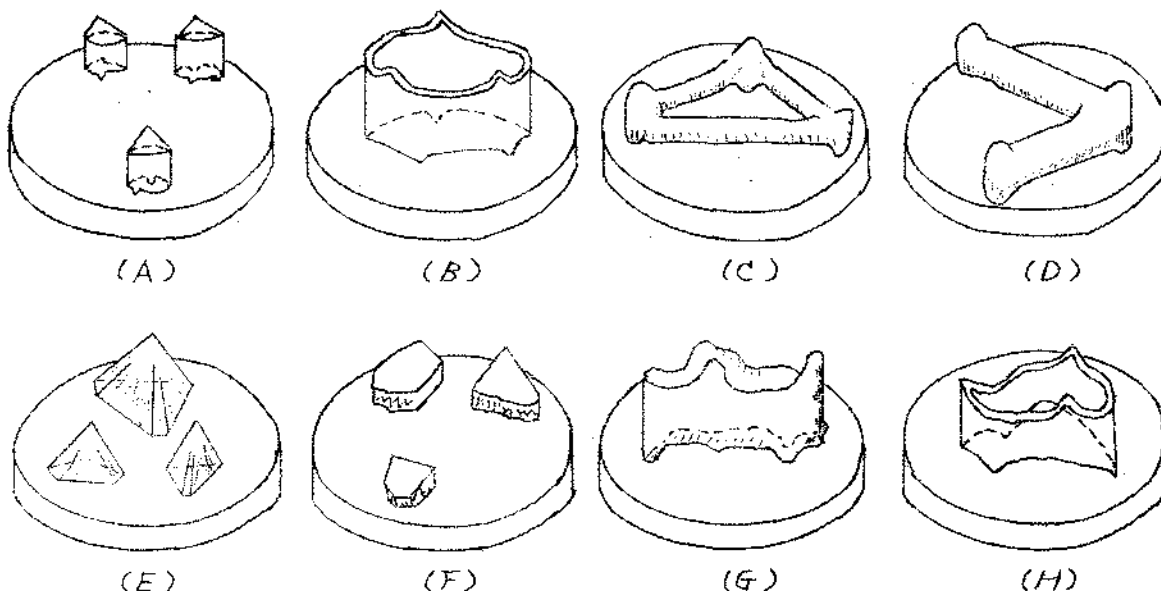
D 氷を入れ、丁の冷蔵室を常に保つ。余分な水がこまらないように注意した。

其の他、I-P-L, L-M-SL L-M 間の距離は出来るだけとの距離に等しくし、又、実験机、B, R, A は夫々下のものに対し、安定な三脚接觸をし、R, A は F の内面に接觸しないようしている。

5. 試料の形状と調整の方法

本実験を通じて、Fig. 2 の如き形の試料を使用した。実験の目的と測定する試料により適当な形のものを用いる必要がある。

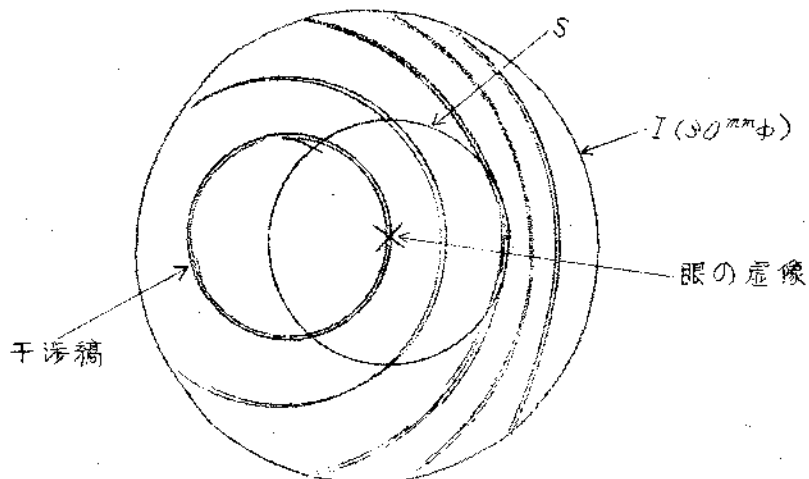
Fig. 2 試料の形状



荒削により、大体の形を作つた後、繊からアランダムを研磨剤として形を調整し、平面干渉板に挿んだ時、十分幅広い干渉縞が現出するようにする。

干渉板の平行度としては、干渉板と試料を set し、約 $150^{\circ\text{C}}$ 上方から、等傾角干渉による干渉縞を観察した時に、干渉円盤の中心が、膜から干渉平面に下した直線の定から、 2^{cm} 以内にあるようにした。

Fig. 3 等傾角干渉による干渉縞の状況



試料は調整後、 $300^{\circ\text{C}}$ に保つた炉内に、 I_1, I_2 と共に入れて set し、 I_1, S, I_2 の表面に附着していると思われる、水分等の蒸気を蒸散させ、炉が冷却してから測定を開始する。

5.6 光 源

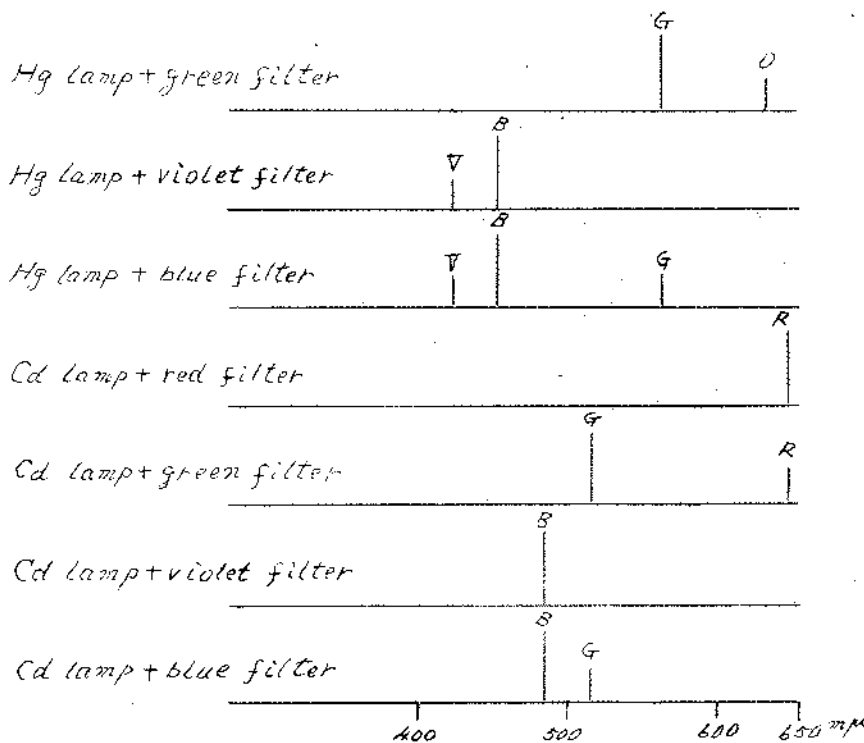
光源に使用したスペクトラルランプから単色光を取出すには、適当なフィルターを使用した。

熱膨脹を測定するには、 Hg -ランプが好都合である。即ち、 Hg green line の強度が大きく、膜に対する感度も高いので、フィルターなしで green line が利用出来て、光の損失が少々からである。

$Na-D$ line は明るくフィルターを要しないけれども、二重線であるために、試料の長さによつては、二つの干渉縞が重なり、不明瞭になる。又、波長が長いために干渉縞の運動量が小さくなる欠点がある。又、光の波長としては、 D_2 line の 5890\AA を使用するが、厳密に言えばこれから正又は負にずれた値を使用しなければならない。この補正量の正負及び絶対値は、干渉縞の次數によるが、補正量は 0.01% 以下であるので、熱膨脹係数の測定に使用する場合は問題にならない。しかし目的によつては、即ち全波長による測定に利用する場合には、適当な考慮が必要である。

スペクトラルランプ、スリット、凸レンズ、プリズム、ピント硝子を配置して簡単な分光計を作り、ピント硝子上のスペクトラル線をフィルターを通して見た時の、極端の差を Fig. 4 に示す。 Ca -ランプの赤、青、紫線と、 Hg -ランプの青、藍線が取出されたものを見てよい。

Fig. 4 スペクトル光源と filter の組合せの特性



各々の光の波長を第1表に掲げる。

第 1 表

標準状態 (760mmHg , 15°C , dry air) に於ける波長

Cd Red	0.64384696μ	Hg Green	0.5460740μ
Cd Green	0.50853220μ	Hg Blue	0.4858950μ
Cd Blue	0.47999088μ		
Na D ₁	0.5895923μ		
Na D ₂	0.5889953μ		

実用標準状態 (760mmHg , 20°C , $\text{H}_2\text{O} 10\text{mmHg}$) に於ける波長

Cd Red	0.64385033μ	Cd Blue	0.47999393μ
Cd Green	0.50858490μ		

§4. 溫度の測定法とその精度

熱電対の熱起電力を、低電圧電位差計と検流計を用いて測定した。検流計は熱起電力の変化 0.01mV につき、ランプスケール上で 40mm の振れを示す程度の感度である。 0.01mV の熱起電力の変化は温度 1°C 及至 1.5°C の変化に相当する。冷端は 0°C に保つてある。

熱電対は、製造会社から送入れて以後、 1000°C 以上の高温に曝された事のないものとされていて、Pt-Pt 13% Rh 热電対の標準起電力を正確に示すものとして、熱起電力から温度に換算し、其の他の補正を行つてゐる。

温度は 0.1°C まで読み取る事が出来るが、温度分布、温度の時間的変化、熱接

度と試料との温度差等を考えると、 0.5°C まで正確と考えられる。

更に熱電対が、標準起電力を示さないと、系統的誤差の原因となるが、 300°C 以下では高々 0.5°C 以内の差はしがちなものと見てよい。

5. 干渉鏡の移動量の測定方法とその精度

干渉板上上の適当な目標となり得る傷等を選び、目標点とする。干涉鏡の暗黒部を、座標が整数値である位置を考え、目標点の座標を定める。

Ocular Micrometer の十字線の一方を干渉鏡と平行にして、目標点及び、其を抜去二つの鏡の暗部に夫々合致させ、*Ocular Micrometer* の目盛輪の蓋みから、比例により目標点の座標の小数点以下を計算する。

Fig. 5 目標点の座標の小数点以下の読み方

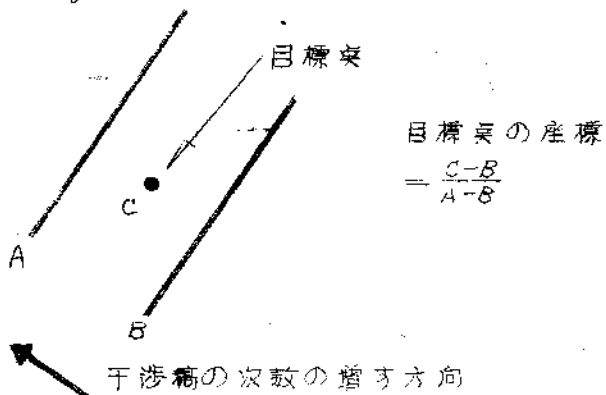


Fig. 5 の計算式の上辺と下辺は、互に独立な量でなく、或程度補償し合うために、A, B, C の間に誤差があつても、計算値には誤差が累積する事はない。且つ A - B は *Ocular Micrometer* の目盛輪の一週転 (100 目盛) に相当する位の幅があるので、読み取精度は十分高い。

実測の結果では、繰返し測定の場合の測定値のばらつきは、±0.02mm で、更に十字線と干渉鏡との合致を判定する場合に起り得る、個人誤差。測定中に、干渉部分が、炉や干渉部分自身の熱膨脹のために移動し、目標点が、*Ocular Micrometer* の視野内で移動する (実測の結果では 300°C 以下では 3 目盛以下) ための誤差等を考えて、±0.02mm まで正確に定まると言えらる。

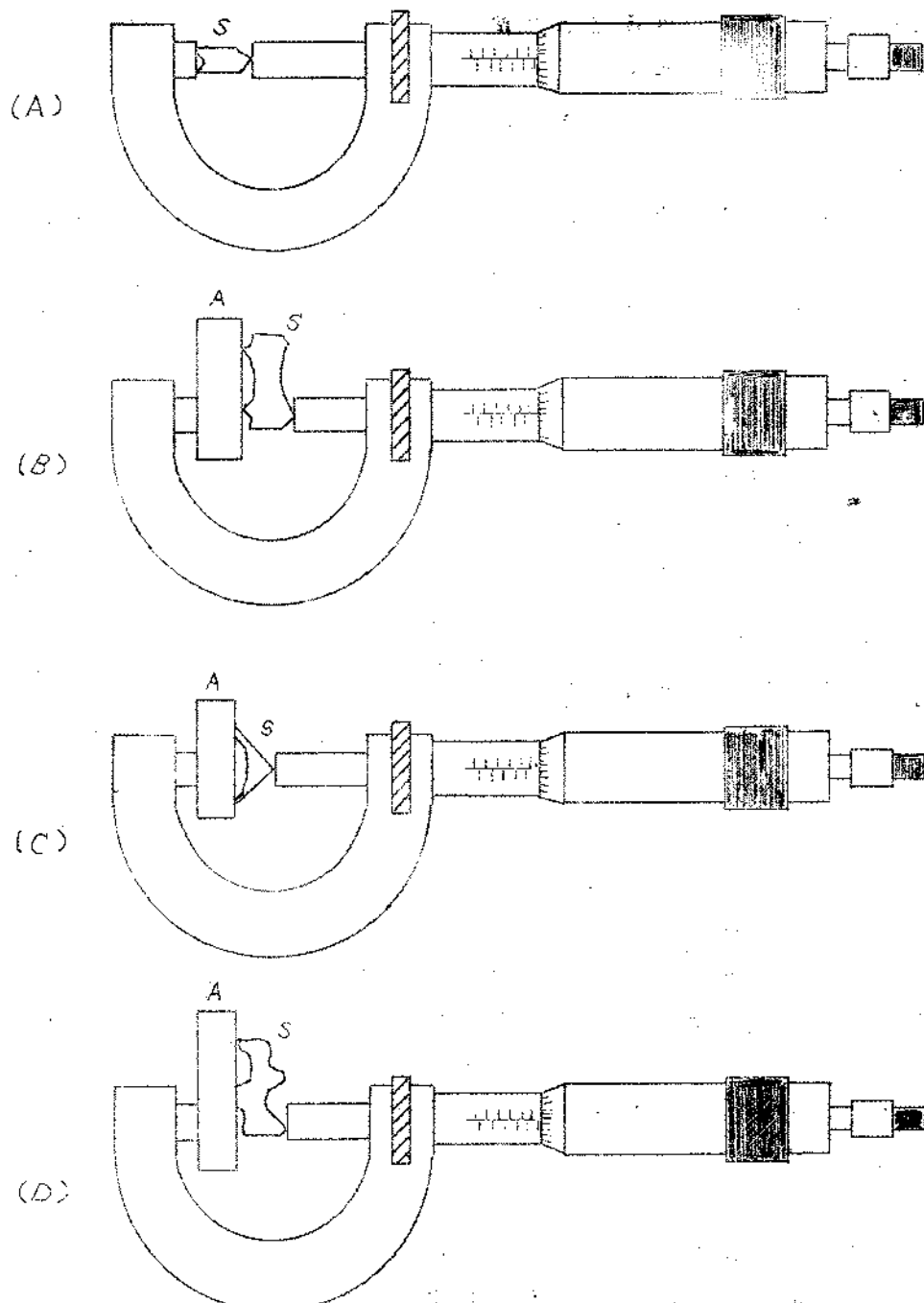
6. 試料の長さの測定法

試料の長さの測定には、必要とする精度により二、三の方法を使い分けた。以下大々について述べる。

a. Screw Micrometer による方法

測定方法を Fig. 6 に示す。S は試料、A は両面が平行な梢子板であって、A の回転が常に干渉鏡により、その周の傾角に 3×10^{-4} radian 以下である事が判明している。Screw Micrometer の固定測定頭が、スピンドルの軸とのなす角は、直角とは $1/1000$ radian 以下の差しかない事も知られているので、此

Fig. 6 試料の長さの測定法



等が傾斜しているための測定誤差は 0.001% 以下で、問題となるのは、スピンドルの送りの誤差だけである。

故に (A) の場合は $\pm 0.01\text{mm}$ 、(B) (C) (D) の場合は A と S を組合せた時の測定値から、A だけの厚さの測定値を引いたものであるから、 $\pm 0.02\text{mm}$ 以内の誤差で測定出来るものと思はれる。

b. 合致法による試料の長さの測定

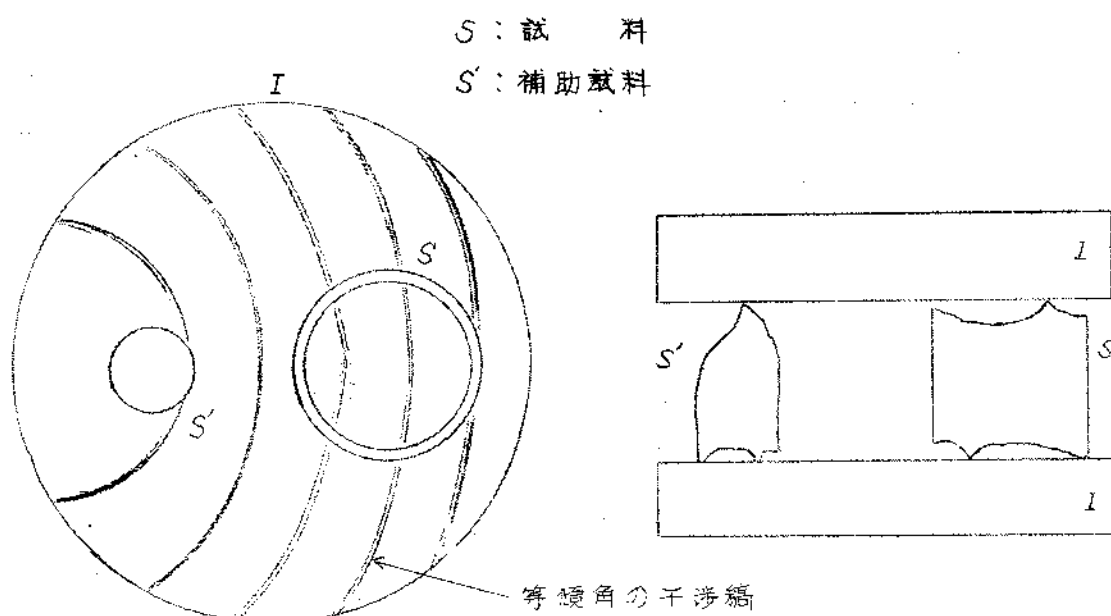
合致法とは、干渉縞を数個のスペクトル線を用いて観察し、目標鏡における干渉縞の次数の、小数点以下の部分の値を夫々測定し、その結果と、他方試料の大略の長さを知り、その附近に於ける干渉縞の様子を計算した結果とを比較して、合致する次数を探し出す方法である。

此の方法を行うためには、試料の長さを $\pm 0.05\text{mm}$ 位の精度で知る必要がある。以下に述べる方法で、合致法を試みた。

1. 補助試料

試料を調整した後、その長さを精密に測定するために、補助試料を作製した。其の形及び本試料との長さの比較方法を Fig. 7 に示す。

Fig. 7 補助試料



補助試料は、直径約 1mm の硝子棒を使用し、三脚と一痕鏡を形成する。長さは本試料より僅か長くし、其の差を光の波長程度にすれば、補助試料の頂点と、本試料の二痕鏡で干渉板を支えた時、干渉縞が現れるようになる。其の場合、Fig. 6 (A) の方法によつて補助試料の長さを測定すれば、本試料の長さとの差は Screw Micrometer の読み精度以下であるから、本試料の長さが測定された事になる。

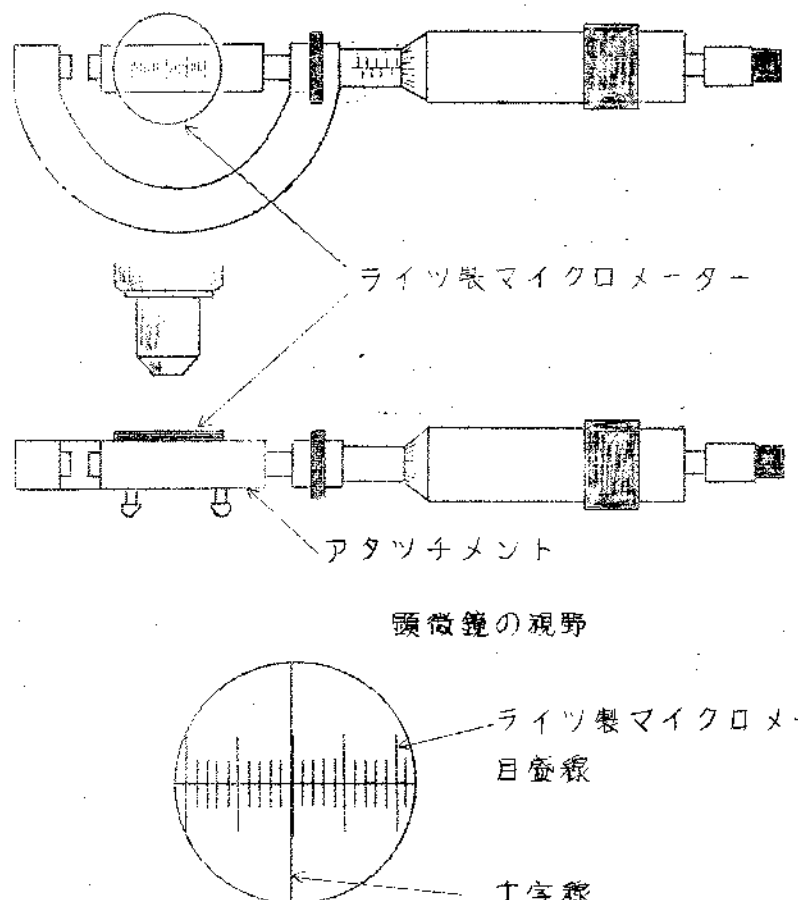
補助試料は Micrometer の測定圧に対して十分強く、atchet stop を空転させて測定した時と、更に強く壓して測定した時とでは $3/1000\text{mm}$ 位の差しか示さなかつた。尚此の測定を行つたためには、本試料が、上下の干渉板と接する二種の三脚の接頭が、上下交互に配置されていなければならない。
即ち、Fig. 8 の (G) 又は (H) の形でなければならぬ。

2. Screw Micrometer の較正

補助試料の長さの測定に使用した Screw Micrometer の精度を次のよ

うにして観察した。Fig. 8 のように、ライツ製 Micrometer (全長 2^{mm} , $\frac{5}{100}^{mm}$ 目盛) を、Screw Micrometer のスピンドルに取付け、目盛の方舟を

Fig. 8 Screw Micrometer の較正



スピンドルの軸と出来るだけ平行にする。顕微鏡 ($\times 100$) の焦度を、ライツ製 Micrometer の目盛線に合せ、顕微鏡の十字線と、Micrometer の目盛線の一つとを合致させる。此のまゝスピンドルを一周転させると、十字線は、先の目盛線から $\frac{5}{100}^{mm}$ 離れた目盛線と、合致する筈である。此の様にスピンドルを廻転させては、十字線と、Micrometer の目盛を合致させ、此の時の Screw Micrometer の読みを記録すれば、Screw Micrometer の読みの様子が判明する。十字線とライツ製 Micrometer の目盛との合致は、Screw Micrometer の目盛で $\pm \frac{3}{1000}^{mm}$ の精度で判定出来る。結果は第2

第二表 Screw Micrometer の較正結果

Screw Micrometer の読み

10.005^{mm}	三回転	10.539^{mm}	三回転	5.529^{mm}	三回転
10.535^{mm}	二回転	9.038^{mm}	三回転	4.030^{mm}	三回転
10.536^{mm}	三回転	7.538^{mm}	二回転	2.532^{mm}	二回転
11.036^{mm}	一回転	6.537^{mm}	二回転	1.532^{mm}	二回転
10.535^{mm}		5.536^{mm}	二回転	0.531^{mm}	

表の通りである。

此の結果から見ると、Screw Micrometer の送りの誤差は、此の方法では検知出来ない位の量であつて、0~1mm の範囲にて、 $\frac{1}{1000}mm$ までは十分信頼出来る。

次に Screw Micrometer のスピンドルとアンカイルの両測定面を、最も油で拭い、両測定面を密着させて、顕微鏡で検査したが、方向によつては $\frac{1}{1000}mm$ 以下の gap があるように見えた所がある。結果此の二つの原因による誤差は、 $15/1000 mm$ よりは小さく、Screw Micrometer による試料の長さの測定は、±0.02mm まで正確に行う事が出来る。

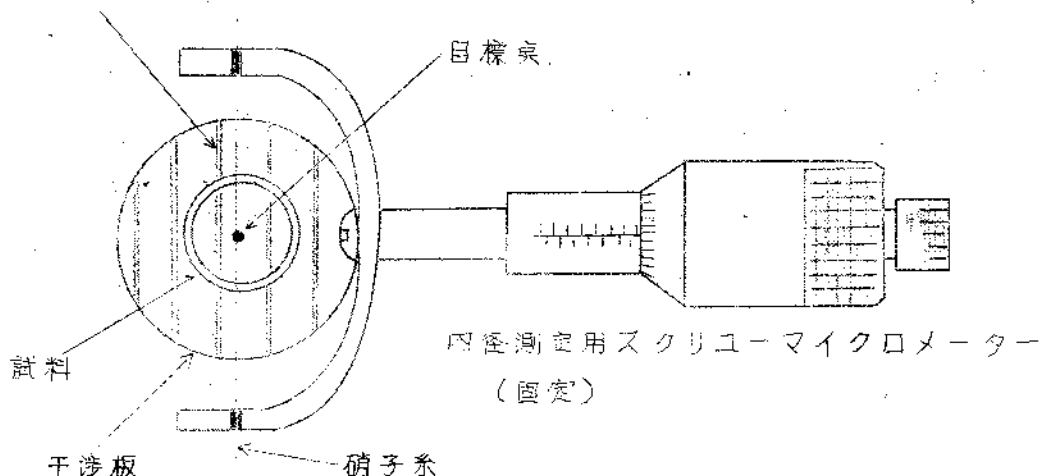
3. 干渉鏡の次數の小数点以下の読み取法

Saunders が試料の長さを合致法で測定した例がある。⁽⁴⁾ 然し彼の方法に従つて行うには、装置の製作と調整が、非常に精密に行われている必要があり我々には不適当であるので、次の方法で行った。

Fig. 1 の構造から、望遠鏡を除き、M の後にフィルターを差し、更に眼鏡を置いて、M の孔から直接干渉鏡を観察する。

干渉部分の上に、内径測定用 Screw Micrometer を置き、其のスピンドルに細い硝子糸（0.05mm 位）を付け、スピンドルを進退させることによつて、硝子糸を干渉鏡及び目標鏡と一致させ、其の時の Screw Micrometer の読みからタグ及び Fig. 9 に示したと同様の方法で、目標鏡の座標を算出する。

Fig. 9 干渉鏡の次數の小数点以下の読み取法
等厚の干渉鏡



硝子糸と、目標鏡及び干渉鏡とが一致した事を判定出来る精度は $\frac{1}{100}mm$ 位であつた。但し暗い光では、誤差が少し大きくなる。干渉鏡の間隔は、 $\pm 0.02mm$ であるので、測定精度は ±0.02 位である。其の他、干渉鏡と硝子糸との合致を判定する場合の個人誤差を考慮して、±0.04 と見てよいと思われる。

測定中に室温が変化して、試料が熱膨脹をすると、干渉鏡が移動して誤

差を生ずるので、測定は、 $HgB-HgG-NaD-CdR-CdG-CdB-HgG$ の順序で行い、 HgG による差が、始めと終りで 0.03 以上の差がない事を確かめた。但し α が 並変化している場合は、測定順序により適当に補正した値を、次々採用した。

4. 光の波長の補正

光の波長の温度変化を補正するのには、次の式を利用した。

$$(N-1) \times 10^6 = (289.02 + \frac{1478}{\lambda^2} + \frac{0.0316}{\lambda^4}) \frac{h(1+\beta\theta)}{260(1+260\theta)} \times \frac{1}{1+0.003716\theta} \quad (5) \quad (1)$$

N : 空気の屈折率

λ : 標準状態 (760 mmHg , 15°C) における光の波長 単位 nm

h : 気圧 単位 mmHg

θ : 水素温度計による温度

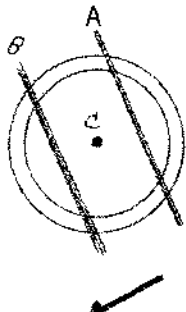
β : 3.4×10^{-5} なる常数

干涉板附近の温度を、温度計で測り、光の波長を補正した。気圧は測定していないので、気圧による変化は無視した。

5. 計算の方法

測定と計算の一例を、第 3 表と第 4 表に掲げた。

第 3 表 合致法の測定の例 (A)



干渉縞の次数
の増す方向

A,B : 干渉縞

C : 目標鏡

$$F = \frac{C-A}{B-A}$$

$$D = \frac{B-A}{\lambda (\mu\text{m})}$$

Hg Blue line
A 2145 nm 21.39

C 19.58 19.59

B 19.30 19.36

F 0.87 0.89 平均 0.88

D 4.95 4.75

Hg Green line
A 22.00 22.03

C 19.60 19.61

B 19.45 19.42

F 0.94 0.93 平均 0.93

D 4.70 4.75

Na D line
A 21.93 21.86

C 19.59 19.59

B 19.25 19.19

F 0.87 0.85 平均 0.86

D 4.55 4.55

Cd Red line
A 20.84 20.78

C 19.60 19.61

B 19.21 19.28

F 0.40 0.38 平均 0.39

D 4.85 4.80

Cd Green line
A 20.86 20.93

C 19.58 19.61

B 18.54 18.55

F 0.55 0.55 平均 0.55

D 4.55 4.70

Cd Blue line
A 19.92 19.90

C 19.61 19.60

B 19.25 19.20

F 0.14 0.14 平均 0.14

D 4.50 4.60

Hg Green line
A 22.03 22.04

C 19.60 19.59

B 19.49 19.50

F 0.96 0.96 平均 0.96

D 4.65 4.65

第 6 章 表 例 (A-1)

試料の種類	試験時間	室温	300°C
Cd Red	0.57	Hg Green	0.38
Cd Green	0.94	Hg Blue	0.35
Cd Blue	0.59	NaO	0.38

補助試料の長さの、Screw Micrometer による測定値を中心として、土 $\pm 1/100^{mm}$ の範囲を検討している。

第3表第一列は、CdR line による干涉鏡の次数の小数点以下の部分が 0.67 であるものを列挙した。第二列はその長さにおける CdG line の干涉鏡の次数の小数点以下の部分を示している。(以下、CdB, HgG, HgB, NaD₂, NaD₁ についても同様である。(簡単のために、CdG による値が 0.79~0.09 で、HgG による値が 0.28~0.24 であるものだけを取り出してある。)

此等の中から、次の條件に合致しないものを除く。即ち

- (1) CdG による値の、測定値と計算値との差が 0.1%以内である事。(計算値が 0.28~0.09 である事、以下のものにつけても同様である)
- (2) HgG による値の、測定値と計算値の差が 0.1%以内である事。
- (3) CdG による値と、HgG による値との相対關係が、測定値と計算値で、0.1%以内の差で一致している事。(CdG による値の計算値が、HgG による値の計算値よりも、0.41~0.21だけ大きい事。以下のものについても同様である。)
- (4) CdB による値の、測定値と計算値との差が、0.2%以内である事。
- (5) HgB による値の、測定値と計算値との差が、0.2%以内である事。
- (6) CdG による値と、CdB による値との相対關係が、測定値と計算値で、0.2%以内の差で、一致している事。
- (7) HgG による値と、HgB による値との相対關係が、測定値と計算値で、0.2%以内の差で、一致している事。
- (8) CdG による値と、HgB による値との相対關係が、測定値と計算値で、0.2%以内の差で、一致している事。
- (9) HgG による値と、CdB による値との相対關係が、測定値と計算値で、0.2%以内の差で一致している事。
- (10) CdB による値と、HgB による値との相対關係が、測定値と計算値で、0.3%以内の差で一致している事。
- (11) NaD line による値の、測定値と計算値との差が、0.1%以内である事。(NaD₂ による値の計算値としては、NaD₁ による値の計算値から、やや NaD₁ による値の方へ近づけたものとする。此の場合には、NaD₂ の計算値に 0.05 を加える。此の値は NaD₂ と NaD₁ の濃度比が 2:1 であるとして、計算したものである。)

以上の條件に合致しないものを除くと、最後に、CdR line による鏡の次数が、22528.67 である長さが残った。即ち、試料の長さは 22528.67^{mm} である事が判つた。

此の結果の、繰返し測定の場合の再現性を示す一例として、第4表を掲げる。同一試料について測定したが、測定値と計算値が一致する所が、一つ以上残り、鏡の次数が、唯一には定まらなかつた場合である。第4表で

第5章 表合算法の計算例 (A-2)

長料枚助の書

目 標 異 の 庫 標 に より
Cell Red Cell Green
Cell Blue

2244 m. 室温 30.5°C

光川半洋著

卷之三

$22522.39 \text{ C.R.} = 22503.00 \text{ R. 1st}$

$$22522.39 = 7.2505 \text{ mm}$$

支那の科学

本報告に関する諸権利は、總て東京芝浦電気株式会社に属する

残った Cd R line による次数が 22522 である前は第 5 表でも残っている。

他の例を第 6 表に示す。Cd B, Hg B による測定が、光が暗いため行えなかつた場合である。(1)(2)(3)(4) 項に適合しないものを除いても、可能な次数が多く残っているが、その範囲は $\pm 0.0071^{mm}$ に限られている。

第 6 表 分散法の計算の例 (A-3)

補助試料の長さ	10.222 ^{mm}	室温		光の半波長					
目標東の座標	Cd Red	により		0.48	Cd Red	0.32192838.84			
	Cd Green	" "		0.94	Cd Green	0.254294777			
	Hg Green	" "		2.61	Hg Green	0.273041164			
	Na D	" "		0.78	Na D ₁	0.294800646			
					Na D ₂	0.294502141			
31600.49	Cd R	Cd G	Hg G	Na D ₂	Na D ₁	D	G	D	D
31600.49	$= 40005.10$	$= 37258.47$	$= 34543.37$	$= 34508.89$		G	Cd G	Hg G	
31606.49	.99	.49	.57	.54	X	X	X		
31663.49	.85	.74	.23	.18	X	X	X	X	
31667.49	.91	.46	.60	.55	X				
31690.49	.03	.56	.74	.67	?				
31701.49	.95	.55	.77	.68					
31712.49	.88	.51	.79	.69					
31723.49	.80	.48	.82	.70					X
31725.49	.99	.63	.93	.81					
31746.49	.92	.60	.96	.82	?	X	X		
31757.49	.84	.57	.98	.83	X		X	X	
31769.49	.03	.72	.10	.94	X		X	X	
31782.49	.81	.63	.17	.87	X		X	X	
31787.49	.06	.49	.66	.44	X	X	X		
31788.49	.92	.75	.31	.01	X	X	X	X	
31798.49	.99	.46	.68	.46	X	X	X		
31803.49	.85	.71	.34	.94	X	X	X	X	
試料の長さ	31690.49	$Cd R = 10.2021^{mm}$ 乃至							
		$31735.49 = 10.2166^{mm}$							

6. 計算の方法についての説明

此の計算法は、次の事を仮定して定めたものである。

- (1) Cd R, Cd G, Hg G, Na D による測定値は 0.08まで正しい。即ち読取誤差、気圧、温度の補正を行わなかったための誤差を合計したものが 0.08を越えない事。
- (2) Hg B, Cd B による測定値は 0.15まで正しい。暗いため読取誤差が大きくなるからである。又 Cd B には近接して 0.4678μ の波長のスペクトル線があり、フィルターでは分離出来ないから、此の線による干渉線が Cd B による干涉線に重なり、見掛け上線の位置をずらしている場合があり得る。しかし此の線の強度が、Cd B の強度の 1% を超えないなら

は、稿の位置のずれは最大 0.06 を超えない筈である。此の事は $Na D_{line}$ についても同様である。

(3) $Na D_1$, $Na D_2$ line は半値幅が比較的大きく、干涉による精密な実験には不適当であると言われているが、我々の目的には、各線の中心波長が 0.001Å の有効数字まで走り、又半値幅が 0.003Å 以下であるならば十分なので、此の事が成立つてゐると假定する。

2. 計算の方法についての討論

我々は気圧による光の波長の変化を補正しないで計算を行つたが、これは不都合な事ではない。試みに次の計算を行つて見る。

標準状態にて、 $\lambda_1 = 0.40000000\text{m}$ の光と、 $\lambda_2 = 0.666666\text{m}$ の光とを使用して、 10.0000000^{mm} の試料を測定したとする。其の時は、標準状態に於て、

$$10.0000000^{\text{mm}} = 50000.00 \times \frac{\lambda_1}{2} = 50000.00 \frac{\text{Å}}{2} \quad \text{となる。}$$

$30^{\circ}\text{C}, 760^{\text{mmHg}}$ の時には、

$$50000.00 \times \frac{\lambda_1}{2} = 50000.00 \times 1.0001417^{\text{mm}} = 50000.00 \times 1.0001417 \frac{\text{Å}}{2} \quad \text{となる。}$$

更に $30^{\circ}\text{C}, 100^{\text{mmHg}}$ の時には、

$$50000.00 \times \frac{\lambda_1}{2} = 10.0001837^{\text{mm}} = 50000.00 \times 1.0001837 \frac{\text{Å}}{2} \quad \text{となる。}$$

(光の波長は、前に掲げた式により計算した。)

此の結果から見ると、光は波長によって温度、気圧による伸縮率が異なるのであるが、其の差は極めて小さく、常温附近に於て、 10^{mm} 内外の長さの試料を測定する限りでは、光は一様に伸縮していると見てよいのであって、其の様に見直すために起る誤差は干涉縞の移動量にして、 $1/10$ 程度であり、我々の測定精度の $1/10$ に過ぎない。従つて合致法の計算を行う場合に、手の光の波長を補正してから計算を行う場合と、光の標準状態における波長を使用して計算した後、其の結果に温度、気圧による光の伸縮率を掛けて補正した場合、又、光の波長を温度によって補正した値を使用して計算した結果に、光の波長の気圧による伸縮率をかけて補正した場合、以上三つの場合は同一結果を与える筈である。我々の計算は嚴密の場合に当り、常気圧による補正是 4×10^{-6} 程度であるから、我々の目的には、此の補正のはずはない。従つて我々が行った計算方法は適當なものである、更に温度、 CO_2 等の影響も周知な程度と思われるから、問題にならない。

計算を実行して、経験的に次の事が判明した。

(1) 計算例の通りには、干涉縞の次数が唯一に定まる。従つて目標実に於ける試料の長さは 0.05m 程度まで正確に定まる。(気圧の補正及び目標実の産出の収取精度を考えて 0.05m と評価した。)

(2) 其の他の場合、即ち干涉縞の次数が唯一には定まらず、可能な次数が多く残った時でも、それ等は $\pm 0.005^{\text{mm}}$ の範囲に限られる。

但し、 $Na D_{line}$ による縞の明瞭度が悪くて測定出来ない場合や、 CO_2

HgB line が暗くて測定しなかつた場合は、更に広い範囲に広がる事もある。

(3) 試料の長さの screw micrometer による測定値と、合致法による測定値との差は、殆んど 0.006mm 以下である。

(2) の性質は我々の目的には好都合であるが、此の事は偶然の事情でそうなつたのではなく、理由がある事である。従つて我々は、合致法により、 $\pm 0.005\text{mm}$ の精度で、試料の長さが決定出来ると期待してよい。

更に他のスペクトル線を追加して測定すれば、凡ての場合に、干涉縞の次数が唯一に定まる事は確実である。現在では、CdB, HgB が暗く、又、夫々 Cd Violet, Hg Violet が重畳している恐れがあり、これを計算に用いるのは好ましくない。以下報告する測定値の中、CdB, HgB を利用して定めた値には、*印を付けて表わす事とする。

上の様にして定めた長さは、試料の一端に於ける長さであつて、試料は上下の干涉板が僅か傾く様に作られているから、試料全体にわたつて、 0.001mm ~ 0.002mm の差がある。更に室温の変化によつても、 0.001mm 程度の伸縮があるから、干涉縞の次数が唯一に定まった場合でも、試料の長さの有効数字は $\pm 0.001\text{mm}$ までである。

C. 改良された合致法の測定、計算

上に述べた方法を、次の如く改良すると、測定が迅速、正確に行われ、室温変化による誤差も少くなる。測定の例を Fig. 10 に、計算の例を第 2 表に示す。即ち、隣接する HgG line による干涉縞の間にある、他の光による縞の座標を、 HgG による縞を標準として定めるものである。

次の仮定を用い、適合しない次数を除いて行く。

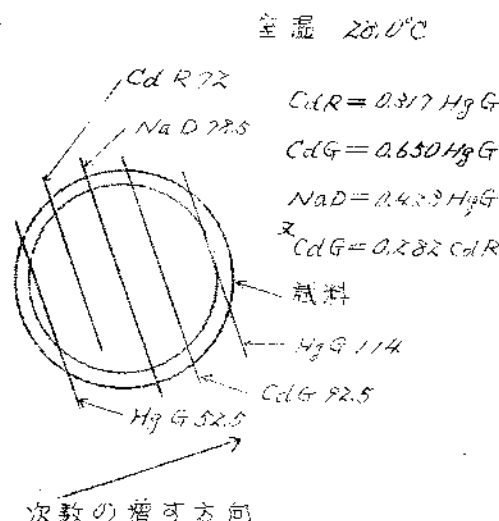
(1) CdR, CdG, Nad による縞の、 HgG による縞を標準とした座標は、 $\pm 0.001\text{mm}$ まで正確に測定出来る。

(2) CdG による縞の、CdR による縞を標準とした座標は、 $\pm 0.08\text{mm}$ まで正確に測定出来る。

結果、此の場合、 $\pm 0.001\text{mm}$ の精度で試料の長さが定まる。

此の測定法では、精度は一般に、 $\pm 0.001\text{mm}$ の程度である。その理由は、使用した光の波長の間に次のような関係があり、

Fig. 10
合致法測定の例 (B)



数字は Ocular Micrometer の目盛

第 2 表 合成法の計算の例 (B-1)

補助試料の長さ 9.988^m , $32870HgG - 32920HgG$ の範囲を検討した。

光の波長は標準状態における値を使用する。室温 $28^\circ C$

$HgG-CdR$, $HgG-CdG$ の関係が測定値と ± 0.08 以内で合致するもののみを挙げる。

$32870.317 = 2.770.2.714$	CdR	$32870.650 = 2.293.5.017$	CdG	$32870.423 = 3.047.5.053 = 3.044.4.250$	NaD	NaD	$27916.282 =$	CdG
914. "	27916.03	914. "	.03	914. "	.88	.98	914. "	.87
930. "	938.08	930. "	.98	930. "	.99	.06	938. "	.93
951. "	938.93	931. "	.05	931. "	.91	.29	931. "	.99
962. "	960.88	963. "	.92	963. "	.62	.02		

測定値 $CdR = 0.317 HgG$
 $CdG = 0.650 HgG$
 $NaD = 0.428 HgG$
 $CdG = 0.282 CdR$

に合致するものは
——を施したもののみである。

$$CdR = 13.925 CdG = 12.970 HgG = 12.01 NaD$$

諸公倍数を有しているので、除かねない次数が、 $11 CdR = 5.603 \times 10^7$ を周期として現われ、その中隣接して現われる又算位の次数の中、試料の長さが何れの次数に対応しているかを、決定するのが困難だからである。従つて、此の場合も、更に適当なスペクトル線を範囲加ければ、試料の長さが、完全に定まる筈である。

同一試料について測定した場合の再現性を示すために、第 3 表を掲げる。即ち、各回の測定の中、残留する次数には共通と認められるものがあるので、測定精度内に於ける再現性は完全である。

此の方法は、明るい線のみを用い精度よく試料の長さが定まる点で、優れた方法である。

本報告における試料の長さの測定の中、此の方法で定めたものは、 514.4 の第 3 番目の試料のみである。

514.4 において、熱膨脹の測定に合成法を應用した場合、 59.6 , 89.0 に説明した二方法を共に应用し、精度を検討した。

第 3 表

合成法測定の再現性 (B-2)

測 定	残留した次数 (HgG による)	
	第 1 回	第 2 回
1	32960	32979
2	32967	
3	32966	32980 32993
4	32966	32968

届けの中の次数は共通のものと認められる。

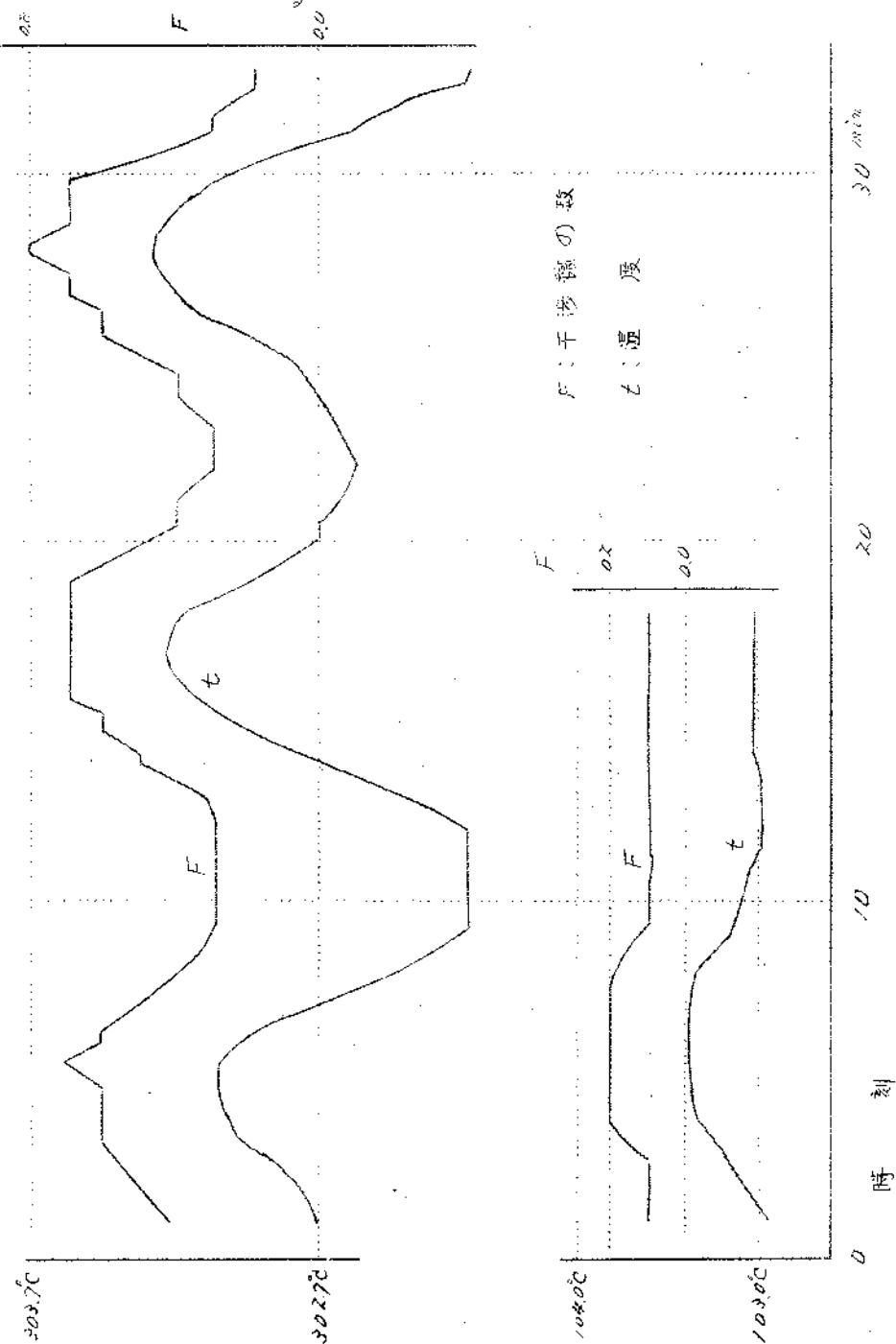
§10. 熱膨脹の測定法

熱膨脹の測定には、実験の目的により2つの方法を行った。

1. 初めに一定の温度に試料を保ち、目標窓の座標をもと、次に適当な速度（ $1^{\circ}\text{C}/\text{min}$ を超えない）で温度を上げて、及ぶる温度で再び試料を定温に保つ。此の間ににおける干渉縞の移動量と、及ぶる温度で目標窓の座標を読んで、一方の温度間ににおける縞の移動量を知り、熱膨脹の大きさ、及び一方の試料の平均膨脹係数を計算する。

此の場合、炉の温度を一定に保つには、手動で電流を断続して行った。炉温の変化の例を、Fig. 11に示した。

Fig. 11 炉の温度変動と干渉縞の移動



2. 温度を λ_1 ~ λ_2 の速度で上昇させ、 10°C 毎に目標室の温度を読み、熱膨脹曲率を示め、又熱膨脹係数を計算する。

測定前に試料を 300°C に加熱する事、並びに、炉台を軽く叩き Set が安定している事を確認する事、測定前後にて、望遠鏡の視野内で目標室が移動しない事と縦の幅、方向が変化していない事を確認する事は必須である。

§11. 計算

常温における光の波長を λ_0 とし、 λ_1 及び λ_2 の温度における光の波長を λ_1 、 λ_2 とする。

一方に於て、目標室に於ける干渉鏡の次数を N とし、 λ_1 及び λ_2 に於ける縦の移動量を Δz とする。又、 λ_1 及び λ_2 に於ける試料の長さを夫々 L_1 、 L_2 とすれば、

$$L_1 = \frac{\lambda_0^2}{\lambda} (1 + \Delta_1) N, \quad L_2 = \frac{\lambda_0^2}{\lambda} (1 + \Delta_2) (N + n), \quad \text{従つて熱膨脹は、}$$

$$L_2 - L_1 = \frac{\lambda_0^2}{\lambda} \{ n + N(\Delta_2 - \Delta_1) + \Delta_2 n \} \quad \dots \dots \quad (z)$$

今、 $L_1, L_2 \approx 10^{mm}$ 、 $\lambda_0 = 0.54\mu$ 、 $T_1 = 30^{\circ}\text{C}$ 及び 300°C 、試料の熱膨脹係数 $\approx 100 \times 10^{-3}/^{\circ}\text{C}$ とするならば、

$$n \approx 120 \quad N \approx 40000 \quad \Delta_2 \approx 1.3 \times 10^{-4} \quad \Delta_1 \ll \Delta_2 \quad \text{であるから}$$

$$N(\Delta_2 - \Delta_1) \approx 5 \quad \Delta_2 n \approx 0.015$$

従つて (z) 式の中 $\Delta_2 n$ の項は省略してもよい。又の測定精度は $0.10 \sim 0.15$ 程度で、 $\Delta_2 n$ はそれより可成小さいからである。

Δ の値としては、Merritt の論文⁽¹⁾ にある表を利用した。厳密に言えば、 Δ の値は、使用する波長によつて異なるが、例えば Ca R Line と Hg G Line を比較した場合、 $T_2 = 300^{\circ}\text{C}$ に於ける Δz の差は 1×10^{-6} にすぎず、其のために、 $N(\Delta_2 - \Delta_1)$ は 0.04% しか変化しない。思つて此の程度に正確な値は判断していないので、此の影響を考える等なく計算し、系統的誤差としておくより外はない。

一方、 λ_1 及び λ_2 の平均熱膨脹係数を計算するには、

$$L_2 - L_1 / L_1 (T_2 - T_1) = \text{マーティス} \quad \text{にすればよい。}$$

§12 热膨脹係数測定の精度

次に熱膨脹係数の測定の精度を考察すると次の通りである。

$L_1 = 10^{mm}$ 、 $\lambda_0 = 0.54\mu$ 、 $T_1 = 30^{\circ}\text{C}$ 、 $T_2 = 300^{\circ}\text{C}$ 、試料の熱膨脹係数 $\approx 100 \times 10^{-3}/^{\circ}\text{C}$ なる場合を例に取る。

$$\Delta \text{マーティス} = L_2 - L_1 / L_1 (T_2 - T_1) \quad \dots \dots \quad (y) \quad \text{に於て}$$

1. λ_1 の精度は $5\mu/10^{mm} = 0.05\%$

2. $T_2 - T_1$ の精度は $0.6^{\circ}\text{C}/270^{\circ}\text{C} = 0.22\%$

3. $L_2 - L_1$ は、(y)式に従つて考えると、 λ_1 の精度は 0.15 、 N の精度は 0.015 で、 $N(\Delta_2 - \Delta_1)$ の精度は 0.0027 である。

Δz を省略したための誤差は 0.015 。

ムが気圧により変化する程度は、 10^{-4}Pa の変化につき 0.60 倍だけ変

化するので、 $N(\Delta z - \Delta l)$ は 0.033 变化するのみである。

以上凡ての合計は、 $0.15 + 0.0027 + 0.015 + 0.033 = 0.20$ であり、周縁誤差としては $0.20\% / 20 \cong 0.1\%$ である。

4. 系統的誤差として入つて来る可能性のあるものは、熱電対の起電力が標準電力と異なつてゐる事、即ち狂ひであるが、此の原因による影響は及一萬の誤差を更に 0.3°C 位増大させる程度のものと思われる。

5. 使用する光により μ が異なつてゐるための影響としては、干涉縞の移動量の誤差を更に 0.04 増大させるものと同等である。これも系統的誤差である。

6. Set をした時に、干涉板周における光の通路が、試料の長さの方角と完全に一致しないための誤差が考えられるが、此の誤差は次の様にして評価出来る。即ち、望遠鏡の視野に干涉縞を現出させ、直角プリズムを前後、左右に傾けると、干涉縞が移動し、目標点の座標が變る。試料の長さ 10^{mm} の場合、座標の変化は μ 以下で、これ以上変化させようとすると縞が消失する。故に、光路が異なる手により、試料の長さが尾かけ上 $0.3 / 10000 = 0.003\%$ 変化する事になるが、これは他の誤差に比べ遙に小さいので、無視してよい。此の値から、光の通路と、干涉板に立てた重線との間の角の Allowance は 0.5° 以下である事が判る。但し、試料が短くなると、此の Allowance、従つてこれによる誤差は數倍の大きさになるものと思われる所以、此の点から試料の長さは、 10^{mm} 附近である事が望ましい。 $(10000 = 10^{mm} / 0.5^\circ)$

1~6 に述べた誤差を再配列すれば

1. μ の誤差は 0.005% (且し、より C に述べた方法によれば、 0.03% 以下になるが、本報告の測定値は大体 0.03% の誤差を有るべきである。)

2. ワーナーの精度は 0.5%

3. ワーナーの精度は 0.20%

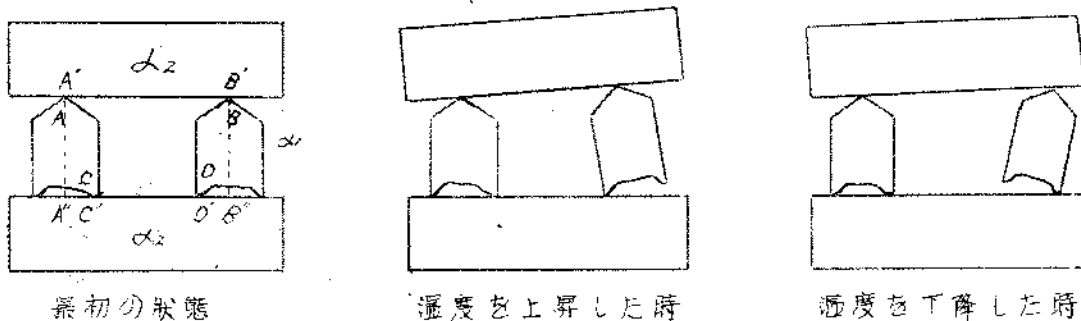
全ての誤差を合計して 0.58% である。即ち正確な値に対し、 $\pm 0.58\%$ 以内の誤差で測定が出来る筈である。其の中で 0.14% は系統的誤差であつて、測定値の操作には責任のない誤差である。此の系統的誤差を除く事は、非常に専門的な技術を要るので、現在のところ困難である。

5.5 試料の形状が測定精度に及ぼす影響

Saunders⁽²⁾ は干渉を利用した膨脹計の精度、誤差の原因について、詳細な報告を行つてゐる。この誤差は、夫々の装置や、試料、Set の方法が異なるれば異なるものと思われる所以、夫々の装置につき、彼の論文を参考にして検討を行つた。

彼は tilting なる現象を報告している。即ち、干渉平面板と試料の熱膨脹係数が異なるために、温度上昇中、set が安定性を失い、試料が傾斜する事である。(Fig. 11) 直ちに判る様に、試料が 2 つの小片から成る場合、即ち、Fig. 2 (A).

Fig. 12 試料が傾斜する原因



(E)(F) 等の場合に此の影響が著しい筈である。

tilting の影響を調べた実験を以下に述べる。

a. 棒形試料

IVH Machine のタンク炉に於て、Bi-glass test の標準管として使用されている LM-2 硝子製管から試料を作つた。Fig. 2 の (A) の形状である。550°C で除重、徐冷を行つてある。

試料の長さは Screw Micrometer で直接測定し、目標実毎に干涉鏡の移動量を読み取つた。(精度 ± 1) 干涉板は Texex 製である。

結果を Fig. 13 に示す。温度を上昇させた場合、目標実毎に干渉鏡の移動量が異なる。*tilting* を起している事は確確かである。干渉鏡の移動量が最も小さい目標実から、 $\Delta L_{100-300}$ を計算すると $106.4 \times 10^{-3}/^{\circ}\text{C}$ 程である。

Fig. 13 LM-2 IVH 標準管の測定結果

I. 棒形試料

黒塗は目標実

第1回測定

$$L_0 = 5.762 \text{ mm}$$

$$F = 45.9 \\ x = 106.7$$

$$\bullet F = 46.5 \\ \bullet x = 111.2$$

$$\bullet F = 46.7 \\ \bullet x = 111.5$$

温度範囲
 $100.5^{\circ}\text{C} \sim 300.5^{\circ}\text{C}$

F: 干渉鏡の移動量 x: 平均熱膨脹係数 $\times 10^3$

第2回測定

$$L_0 = 5.762 \text{ mm}$$

$$\bullet F = 46.1 \\ \bullet x = 111.3$$

$$\bullet F = 45.8 \\ \bullet x = 110.7$$

温度範囲
 $99.8^{\circ}\text{C} \sim 302.5^{\circ}\text{C}$

第3回測定

$$L_0 = 5.762 \text{ mm}$$

$$\bullet F = 45.8 \\ \bullet x = 106.5$$

$$\bullet F = 45.9 \\ \bullet x = 111.1$$

温度範囲
 $89.8^{\circ}\text{C} \sim 300.6^{\circ}\text{C}$

第4回測定

$$L_0 = 5.762 \text{ mm}$$

$$\bullet F = 45.2 \\ \bullet x = 111.2$$

$$\bullet F = 45.0 \\ \bullet x = 111.9$$

温度範囲
 $99.1^{\circ}\text{C} \sim 298.5^{\circ}\text{C}$

6. 簾錐形試料

前子は上と同じく LM-2 硝子製標準管である。形は Fig. 2 (E) の形状である。 550°C で除重、徐冷を行つてある。

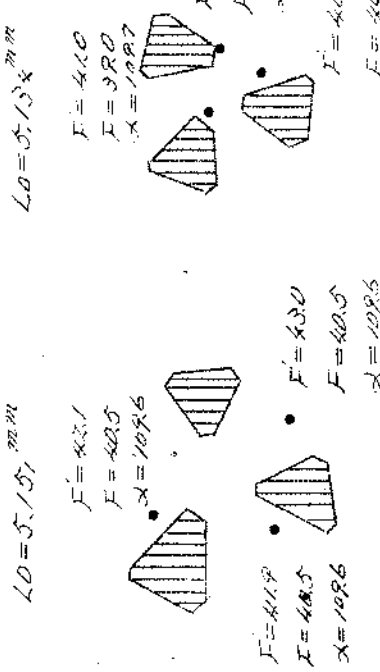
Fig. 14 LM-2 IVH 標準管の測定結果

Ⅱ 角錐形試料

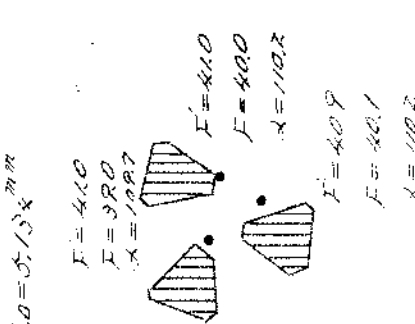
黒炭は目標

Fに巻きを加く前に干しきる干渉量
Eに叩いて後の干渉錐の移動量
△：平均整形膜厚数 × 10 λ

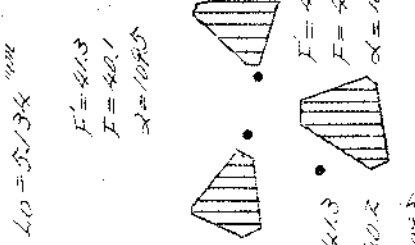
第 1 周測定



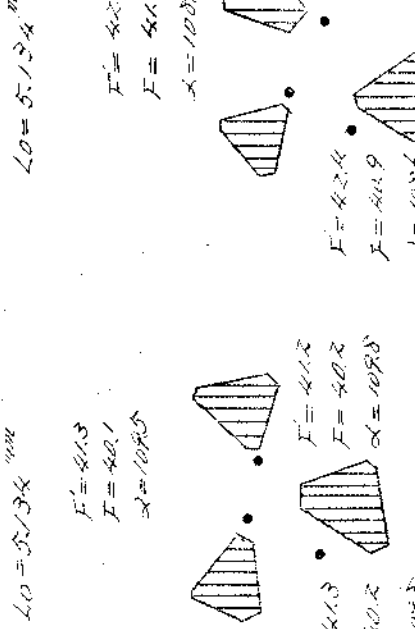
第 2 周測定



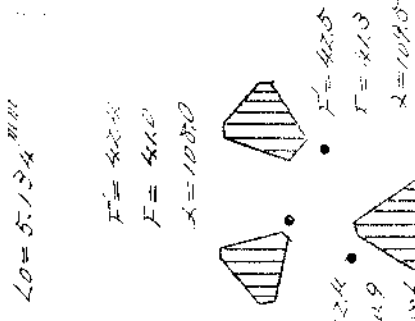
第 3 周測定



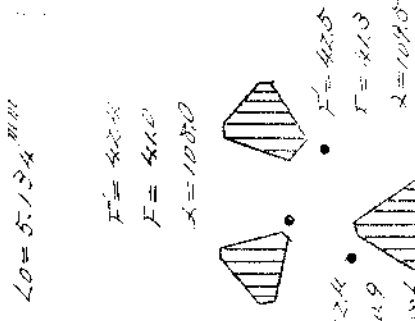
第 4 周測定



第 5 周測定



第 6 周測定



温度範囲

100.2~300.1°C

温度範囲

100.2~300.1°C

温度範囲

100.2~300.1°C

測定の方法は *s13. a* と同様であるが、板硝子製干渉板を使用した。

結果は Fig. 14 の通りである。温度を上昇させた場合、2個の目標点における干渉縞の移動量は可成差がある。所が此の場合には、Set が不安定になつていて、装置を軽く叩くと、干渉縞が少し移動して安定になる。干渉縞が移動する方向は、試料が収縮するのに相当する方向であつた。又 Set を安定させた後には、2個の目標点における縞の移動量は、測定精度の範囲内で一致し、 $\Delta_{100-300}$ を計算すると、 $102.5 \times 10^{-7}/^{\circ}\text{C}$ となる。

c. 輪形試料

試料硝子は、*s13. a*, *s13. b* と同一で、管からそのまま試料を作製した。徐冷を行つてある。TereX 製干渉板を使用した。結果は Fig. 15 の通りである。

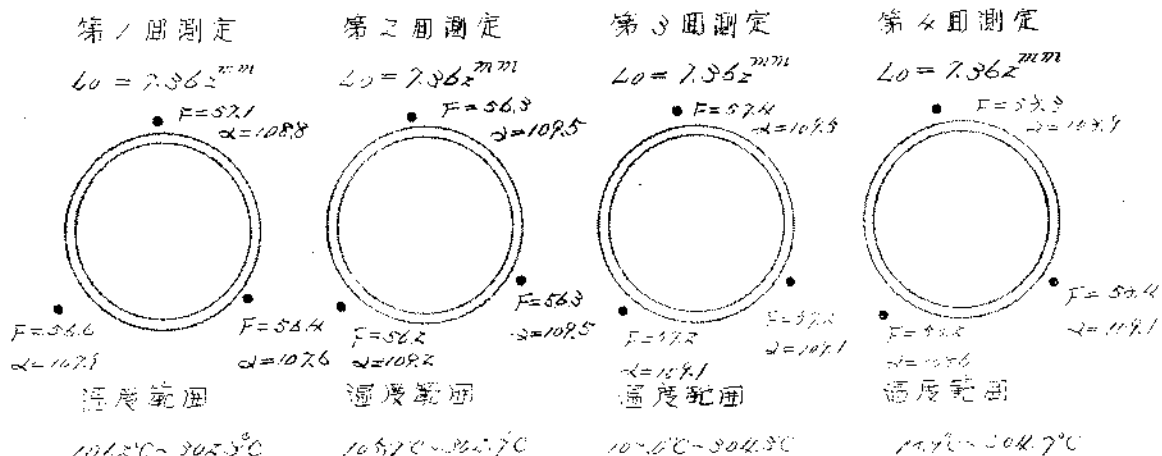
Fig. 15 LM-S IVH 標準管の測定結果

正輪形の試料

黒炭は目標点

F: 干渉縞の移動量

$\times 10^{-7}$



2回の目標点における干渉縞の移動量は、測定精度の範囲内で一致している。 $\Delta_{100-300} = 102.2 \times 10^{-7}/^{\circ}\text{C}$ である。

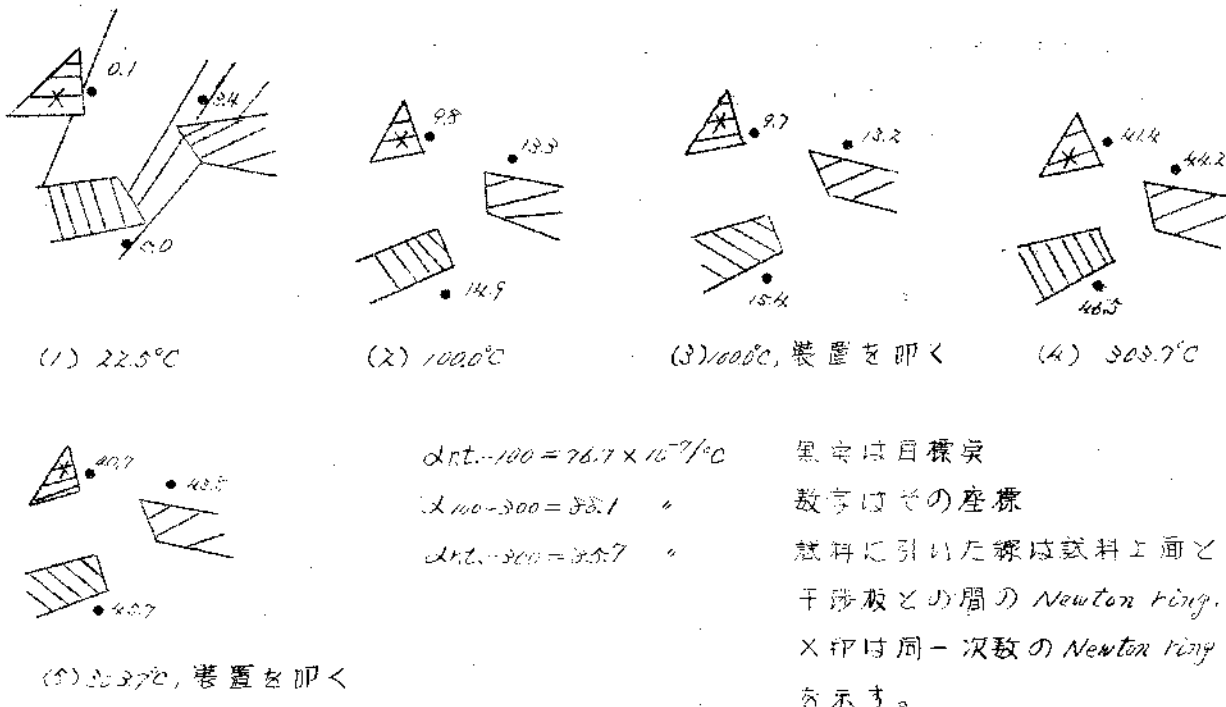
s13. a~c に於て、周一辺の試料について測定したところ、 $\Delta_{100-300} = 101.2 \sim 102.4 \times 10^{-7}/^{\circ}\text{C}$ なる結果が得られた。此の差は測定精度の範囲内であり、此の測定法が、恐らく正確な結果を与えるであろうと予想される。

d. 板形試料

厚板硝子（恐らく旭硝子製と想われる）を割って試料とした。エッジ(F)の形状である。干渉平面板間に生ずる干渉縞と同時に、試料の上面と上方干渉板の下面との間に生ずる Newton Ring を観察した。結果は Fig. 16 の通りである。

温度上昇と共に試料が傾斜している事は明瞭である。板硝子の $\Delta_{100-300}$ として、Fig. 15 に記入した値が得られたが、此の場合には明らかに相当の誤差、恐らく $\pm 3 \times 10^{-7}/^{\circ}\text{C}$ 程度の誤差があると見なければならない。

Fig. 16 板硝子の測定結果



c. 試料の形状についての討論

以上の実験から、3個の小片から成る試料を測定する場合には、tiltingの現象が起きた事が明らかとなつた。tiltingは試料の形が、比較的安定と思われる角錐形、板形をして居り、又板硝子製干涉板を使用して、干涉板と試料との膨張係数を近似させた場合でさえも生じた。従つて精密な測定を行うには、必ず一體となつた試用するべきであり、そうでないとtiltingのために多少の誤差を生ずる。

尚tiltingが生じている時の他の根據を挙げると、温度を上昇した時だけでなく、高溫で安定にしたsetを体温にしても、setが不安定となり、装置を叩くと、線が試料が取締する方に相当する方向に移動して安定となる事。干涉板をZerex、試料をTrex、CP-3K等として膨張係数を近似させた場合には、巨秦矣毎の干涉線の移動量の差は小さい事、等である。

d. 実測の場合の測定精度の検討

さきに於ける予備実験で、精度をよく測定するためには、輪形試料の如く一體となつた試料を使用しなければならない事が判明した。次に一體となつた試料を使用すれば、十分な精度で、即ちさきで予期される程度の誤差で、測定が出来るか、どうかが問題になる。以下に検討の結果を述べる。

測定の方法は、さきとおなじで述べた通りである。

a. LM-2 硝子標準管についての測定 I

試料は主に a-c で使用したものと同一 lot のものである。550°C で徐冷してある。

補助試料の長さ 2.244 mm (Screw Micrometerによる。)

試料の長さ *2.2507 ± 0.001 mm (合致法による。)

使用光源 Na D Line

測定結果は Fig. 17 及び第 9 表に示す。

第 9 回測定は 100°C ~ 500°C 間に於て、干涉線を一つ余計に数えている疑がある。持続内は数え過ぎたものとして補正した値である。

目標実験の橋の移動量は、測定精度の範囲内で一致している。即ち scaling の影響は認められない。又の値の計算値も、大体 1% から予期される程度のばらつきしかない。

Fig. 17 LM-2 硝子標準管の測定結果 (A)

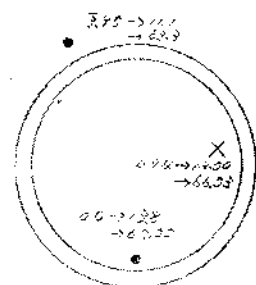
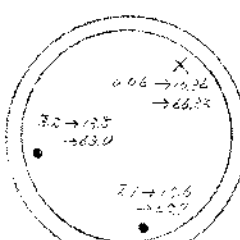
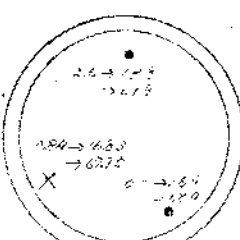
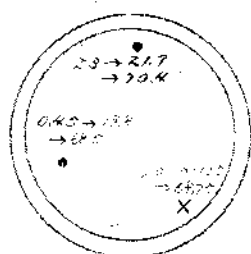
X : Ocular Micrometer による • : 目測による

第 1 回

第 2 回

第 3 回

第 4 回



温度範囲

29.15°C → 120.15°C → 29.15°C

温度範囲

26.87°C → 101.6°C → 26.87°C

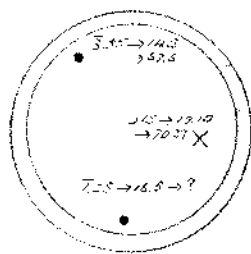
温度範囲

31.5°C → 103.6°C → 30.15°C

温度範囲

32.1°C → 103.2°C → 32.0°C

第 5 回



温度範囲

29.0°C → 103.15°C → 29.0°C

第 9 表

	第 1 回	第 2 回	第 3 回	第 4 回	第 5 回
Xmt-100	92.8 (Xmt-120)	93.9	95.0	94.3	93.2
Xmt-300	111.6 (Xmt-320)	108.9	102.8	101.8	102.8 (Xmt-320)
Xmt-500	116.5	112.8	104.8	104.8	105.6 (Xmt-520)

△の左記は ± 3% / C

b. LM-2 硝子標準管についての測定 II

S 14.2 を測定した試料を、Hg G Line で再測したものである。結果は、第 10 表の通りであつて、S 14.2 の結果とよく一致する。

c. LM-2 硝子標準管についての測定 III

S 14.2 を用いた試料と同一 lot の試料である。

補助試料の長さ 16.024 mm (Screw Micrometerによる。)

試料の長さ 16.0295 ± 0.001^m (合致法による) (16.0295 ± 0.001^m)

使用光源 $Hg\ G\ line.$

結果は Fig. 18 及び第 1 表の通りである。

第 2 回測定は、 $nt \sim 100^\circ C$ の間で干渉縞を 1 個数え落している傾向がある。括弧内は数字を落したものとして補正した値である。

測定値のばらつきも、予期される程度である。 $taking$ の影響は認められない。

第 10 表

LM-2 硝子標準管の測定結果(1)

温度 目標値の座標

$25.5^\circ C$ 0.72

$50.5^\circ C$ 12.73

$75.2^\circ C$ 24.15

$\Delta nt - 100^\circ C = 85.3 \times 10^{-3}/^\circ C$

$\Delta nt - 50^\circ C = 107.6$ "

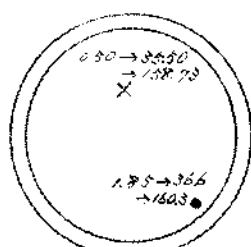
$\Delta nt - 75^\circ C = 104.3$ "

Fig. 18 LM-2 硝子標準管の測定結果(1)

× : Ocular Micrometer による

• : 目測による

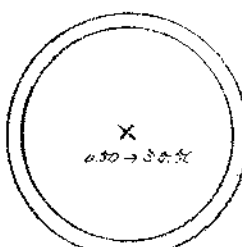
第 1 回



温度範囲

$25.5^\circ C \rightarrow 50.5^\circ C \rightarrow 75.2^\circ C$

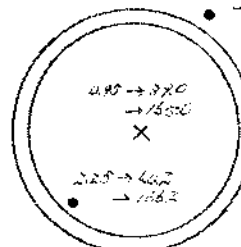
第 2 回



温度範囲

$25.5^\circ C \rightarrow 50.5^\circ C$

第 3 回



温度範囲

$25.5^\circ C \rightarrow 50.5^\circ C \rightarrow 75.2^\circ C$

第 11 表

d. LM-2 硝子標準管についての測定 IV

合致法応用の試み

温度上昇中に於ける縞の移動を観察し難ける代りに、まことに明確した合致法を応用して、測定の操作を簡単にすることを試みた。

$NaDline$, $CdRline$, $Hg\ G\ line$ を使用し、試料の温度を一定に保ち、目標値の座標の、小数点以下部分を、3つの光で夫々読み取る。此の結果から、3つの温度間に於ける干渉縞の移動量の小数点以下の部分を知る。此の結果を計算の結果と比較し、夫々の光による干渉縞の移動量の小数点を知るものである。

此の実験の場合には、 $NaDline$ により干渉縞の移動を観察し、 $NaDline$ による干渉縞の移動量を知る。次に此の値から、 $CdRline$ と $Hg\ G\ line$ による干渉縞の移動量の整数部分を計算し、 $CdRline$ と $Hg\ G\ line$ による干渉縞の移動量を知る。此の結果を検討して、次に $NaDline$ による干渉縞の移動量が知られていないとした場合に、計算によつて $CdRline$ と $Hg\ G\ line$ による干渉縞の移動量が正しく求められるか、どうかを見たものである。

	第 1 回	第 2 回	第 3 回
$nt - 100$	95.7	92.3 (95.9)	96.0
$nt - 200$	110.1	104.3	106.7
$nt - 300$	105.4	105.1 (105.7)	106.1

の単位は $10^{-3}/^\circ C$

第ノス試験 L.M.-24寸標準管の測定結果

第ノス測定 第一回測定実	第一回測定定		第二回測定定		第三回測定定	
	HgG	NaD	CdR HgG NaD	CdR HgG NaD	CdR HgG NaD	CdR HgG NaD
30.75 0.25 2.00	4.950 0.00 0.00		30.500 0.00 0.00	30.500 0.00 0.00	30.500 0.00 0.00	30.500 0.00 0.00
100.50 1.25 5.25	110.500 (112.74 110.27) [24.90]	108.100 (108.00 107.98) [24.88]	108.100 (108.00 107.98) [24.88]	108.000 (107.98 107.97) [24.87]	108.000 (107.98 107.97) [24.87]	108.000 (107.98 107.97) [24.87]
290.75 19.50 92.50	300.900 (301.04 298.97) [25.55]	300.900 (301.04 298.97) [25.55]	300.900 (301.04 298.97) [25.55]	300.900 (301.04 298.97) [25.55]	300.900 (301.04 298.97) [25.55]	300.900 (301.04 298.97) [25.55]
			X15t-300 = 1.87×10 ⁻⁵ %			
			X15t-300 = 1.00%	X15t-300 = 1.00%	X15t-300 = 1.00%	X15t-300 = 1.00%
			X15t-300 = 0.065%	X15t-300 = 0.065%	X15t-300 = 0.065%	X15t-300 = 0.065%

数字は干涉橋の移動量を示す

試料の長さ $* 10^{-5} \text{m} \pm 0.001\text{mm}$ (mm±0.1mm)() 内の値は NaD の line の実測値から計算した値

() 内の値は CdR の値から計算した値

増強のない直線実測値

測定は、*NaD*, *HgG*, *CdR*, *NaD* の順序で行い、*NaD line*による値が、初めと終りで 0.05 以上異つていなければ差を認めめた。

万行る温度で、目標卓に於ける干涉鏡の次数を N 万行る前に於ける干涉鏡の移動量を Δ とする。 Col R Line, Hg G Line による値を表す R.G. 行る添字で示す。4.4m等を用いに於けると同様の意味に用いる。

$$\therefore A \approx 10^{-4} \ll 1 \quad \lambda_{RoNR} \approx \lambda_{GoNG} \quad \Delta Rz - \Delta Gz \approx 5 \times 10^{-7} \text{ m}$$

$$\Delta G = \{(\Delta_{\text{rx}} - \Delta R_f) - (\Delta_{\text{rxz}} - \Delta G)\} \quad \text{J) 減は, } T = 30^\circ\text{C}, P = 100\text{K} \text{ の場合} \quad -0.013$$

$$T = 30^\circ\text{C}, P = 100\text{K} \text{ の場合} \quad -0.013$$

乃猶慮之焉。

測定と計算の結果を第 1 表に示す。試料は 9.1 g で測定した試料と同じである。

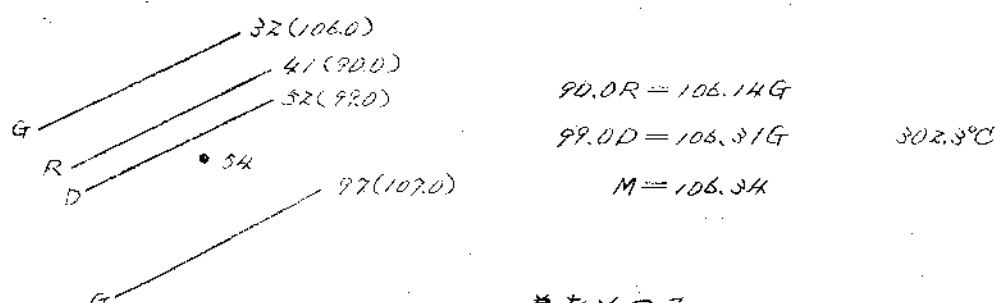
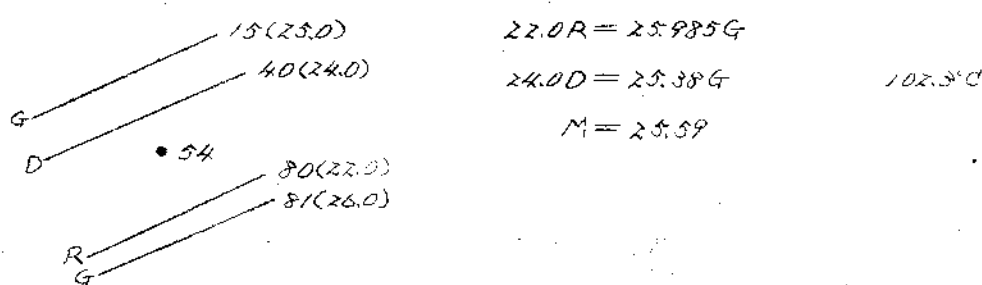
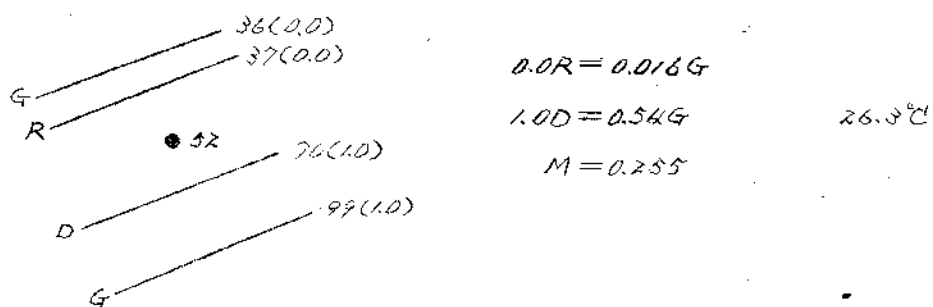
入力した値が $\pi/2$ であるので、 $\pi/2$ の測定値と、 $\pi/2$ から計算した値との誤差以内の差を一致していないと、合致法の計算が正しい事を示唆しない。多くの場合は一致の程度が 0.07 に達していないので、此の方法による合致法の意味は失敗したのである。

此の事は、炉の温度が十分一定にならない事が主な原因である。即ち温度を上げまで一定にし、目標点の座標を 0.02 まで正確に読みて、 0.05 の精度に靠する。更に二つの温度に於ける測定、及び二つの波長の光による測定を総合して、 0.09 の精度に靠しなければならないのであるから、これは、多少かに述べた事とは較して非難ば、表層の能力を越えたことのあるのは、明らかである。

*Hg-Gluc*による測定値から、これを計算した結果を第10表に示してある。以上の値のはらつきは $\pm 0.4 \times 10^{-2} \%$ であるが、はらつきの原因は、一つには濃度範囲が一定でないからであつて、此の影響を除外すれば、実験的のはらつきは、 $\pm 0.3 \times 10^{-2} \%$ 濃度となる。

以上の方法を改良した測定法により合致法を試みた結果を次に述べる。測定の方法と、その一例を第11表に示す。即ち目標線を挿入 Hg Green Line の織反が、その間にある Cd Red Line の織、 $Na D$ line の織の位置を測定するものである。測定の手数が省けるため、測定中の温度変化は小さくなり、且つ読み取り精度が向上する点、非常に改良された方法である。測定結果は第11表の

第 18 表 合致法による熱膨脹測定の例 (D-Z)



差をとつて

 $10^{\circ}\text{C} - 100^{\circ}\text{C}$ 間では $22.0R = 25.97G$) 差 0.04
 (25.83) R : Cd Red Line による
の暗黒部 $25.61G = 24.34G$
 (24.82) G : Hg Green Line による
端の暗黒部 $10^{\circ}\text{C} - 300^{\circ}\text{C}$ 間では $90.0R = 106.12G$) 差 0.05
 (106.08) D : Na D Line による端の
暗黒部 $88.00 = 105.97G$
 (105.69)

黒点は目標点

数字はocular micrometer の読み

括弧外の数字は鏡の次数 (但し、便宜上鏡をひととする)

() : Na D Line による値よりの計算値

() : Cd R " " "

M : 目標点の産標 Hg Green Line による。

第ノメ表 ムニーナ射出機車管の測定結果 (D-2)

第ノメ		第ス		第ス		第ス		第ス		第ス		第ス	
試料の長さ mm		10.4556 ± 0.0025		10.4556 ± 0.0025		10.4556 ± 0.0025		10.4556 ± 0.0025		10.4556 ± 0.0025		10.4556 ± 0.0025	
温度	呂蒙東の座標	温度	呂蒙東の座標	温度	呂蒙東の座標	温度	呂蒙東の座標	温度	呂蒙東の座標	温度	呂蒙東の座標	温度	呂蒙東の座標
25.72	0.39	26.37	0.255	20.54	0.20	20.55	0.415	26.62	0.50	26.37	0.50	26.37	0.50
26.40	2.8.32	26.59	2.5.59	22.99	1.8.13	11.04	2.8.07	23.20	1.3.00	23.20	1.3.00	23.20	1.3.00
26.77	10.7.30	30.22	10.6.34	30.22	9.2.20	27.35	10.2.00	27.55	9.4.00	27.55	9.4.00	27.55	9.4.00
$\Delta t = 100 = 95.7 \times 10^{-3}^{\circ}\text{C}$		$\Delta t = 100 = 97.7 \times 10^{-3}^{\circ}\text{C}$		$\Delta t = 100 = 97.2 \times 10^{-3}^{\circ}\text{C}$		$\Delta t = 100 = 97.2 \times 10^{-3}^{\circ}\text{C}$		$\Delta t = 100 = 97.2 \times 10^{-3}^{\circ}\text{C}$		$\Delta t = 100 = 97.2 \times 10^{-3}^{\circ}\text{C}$		$\Delta t = 100 = 97.2 \times 10^{-3}^{\circ}\text{C}$	
$\Delta t = 100 = 10.8.1$		$\Delta t = 100 = 10.8.1$		$\Delta t = 100 = 10.8.1$		$\Delta t = 100 = 10.8.1$		$\Delta t = 100 = 10.8.1$		$\Delta t = 100 = 10.8.1$		$\Delta t = 100 = 10.8.1$	
$\Delta t = 100 = 10.5.1$		$\Delta t = 100 = 10.5.1$		$\Delta t = 100 = 10.5.1$		$\Delta t = 100 = 10.5.1$		$\Delta t = 100 = 10.5.1$		$\Delta t = 100 = 10.5.1$		$\Delta t = 100 = 10.5.1$	
$\times 26R = 3.9.16$ (28.28)		$\times 26R = 3.5.9.4$ (25.93)		$\times 26R = 3.5.9.4$ (25.93)		$\times 26R = 3.5.9.4$ (25.93)		$\times 26R = 3.5.9.4$ (25.93)		$\times 26R = 3.5.9.4$ (25.93)		$\times 26R = 3.5.9.4$ (25.93)	
$\times 26D = 2.8.0.84$ (28.04)		$\times 26D = 2.8.3.84$ (28.33)		$\times 26D = 2.8.3.84$ (28.33)		$\times 26D = 2.8.3.84$ (28.33)		$\times 26D = 2.8.3.84$ (28.33)		$\times 26D = 2.8.3.84$ (28.33)		$\times 26D = 2.8.3.84$ (28.33)	
$\times 21R = 1.0.2.2.84$ (10.2.26)		$\times 21R = 1.0.6.1.2.54$ (10.6.08)		$\times 21R = 1.0.6.1.2.54$ (10.6.08)		$\times 21R = 1.0.6.1.2.54$ (10.6.08)		$\times 21R = 1.0.6.1.2.54$ (10.6.08)		$\times 21R = 1.0.6.1.2.54$ (10.6.08)		$\times 21R = 1.0.6.1.2.54$ (10.6.08)	
$\times 21D = 1.0.5.5.3.4$ (10.5.69)		$\times 21D = 1.0.5.5.3.4$ (10.5.69)		$\times 21D = 1.0.5.5.3.4$ (10.5.69)		$\times 21D = 1.0.5.5.3.4$ (10.5.69)		$\times 21D = 1.0.5.5.3.4$ (10.5.69)		$\times 21D = 1.0.5.5.3.4$ (10.5.69)		$\times 21D = 1.0.5.5.3.4$ (10.5.69)	
$\times 21R = 1.0.2.2.84$ (10.2.26)		$\times 21R = 1.0.2.2.84$ (10.2.26)		$\times 21R = 1.0.2.2.84$ (10.2.26)		$\times 21R = 1.0.2.2.84$ (10.2.26)		$\times 21R = 1.0.2.2.84$ (10.2.26)		$\times 21R = 1.0.2.2.84$ (10.2.26)		$\times 21R = 1.0.2.2.84$ (10.2.26)	
$\times 21D = 1.0.5.5.3.4$ (10.5.69)		$\times 21D = 1.0.5.5.3.4$ (10.5.69)		$\times 21D = 1.0.5.5.3.4$ (10.5.69)		$\times 21D = 1.0.5.5.3.4$ (10.5.69)		$\times 21D = 1.0.5.5.3.4$ (10.5.69)		$\times 21D = 1.0.5.5.3.4$ (10.5.69)		$\times 21D = 1.0.5.5.3.4$ (10.5.69)	

() : Cu Real line よりの計算値

() : Na D line よりの計算値

目標線の座標は High current line による値

通りである、試料は $\varnothing 11.2$ で測定した試料と同一 lot のものである。

10回のデータの中、 CdR と Hg G line の値を比較して、測定値と計算値の差が ± 0.07 以下の場合が 6 回、 ± 0.08 の場合 2 回、 ± 0.09 以上の場合 2 回で、先の測定法に比較して優れている事が明らかである。

熱膨脹係数は、目標点の座標を Hg G line で読みだ値から計算した。

メッシュのばらつきは先の場合と同じ程度の大きさである。

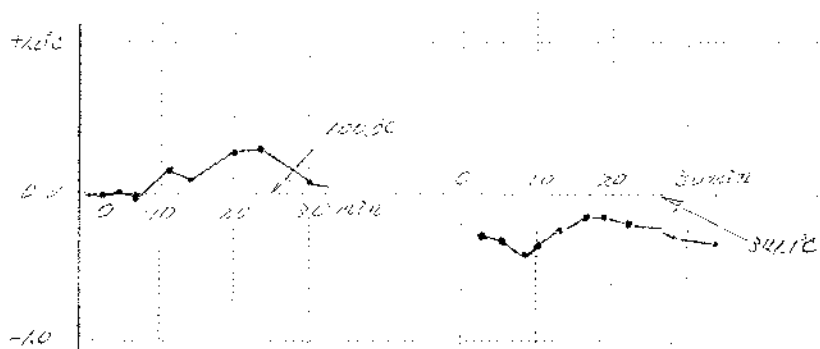
此の方法は次の様に改良出来る事を注意しておく。即ち、上に行つた測定では、室温に於ける測定値と、 100°C 又は 300°C における測定値の差を利用してようとしたのであるが、夫々に測定誤差があり、差を求めるに誤差が重複して、成功しない場合が出来たのである。す、試料の長さが完全に定まり、室温において測定する場合に、視野に現われている干涉縦の次数が判明しているものとすると、例えば、測定値 $CdR = 0.317 \text{ HgG}$ に対し、計算により、 $2786/CdR = 32867.34 \text{ HgG}$ なる事が知られる。室温における実測値の代りに此の計算値を使用すれば、誤差は 100°C 又は 300°C における測定値から来るものだけとなるので、密らく CdR と Hg G のみを用いて測定しても、常に合致法が成功するのではないかと思われる。しかし現在、試料の長さを干渉縦一箇の精度で定める事は、一般に可能でないので、此の考えを試みる事は出来ない。

更に、 CdR 及び CdG を利用して合致法を試みた例を次に示す。此の二つの光の波長は約 $\pm 6\%$ の差があり、スペクトルランプを取換える事なく迅速に測定出来るので、成功の確率が大きい。 CdG, CdR, HgG の順序で測定し、 CdR, CdG の測定値を合致法に用い、 HgG により膨脹係数を計算した。温度上昇中に、干渉縦の移動と相違する事は行なわなかった。

此の測定に先立ち、炉温をサーミスターを使用する調節器により調節するように改良した。温度変動の例を Fig. 14 に示す。変動は非常に小さくなつた。

測定の一例を第 15 表に示す。又測定を繰返した場合の結果を第 16 表に掲げた。 $\Delta C_{100}/ACDR = 0.29$ であるから、 CdG と CdR との關係が $\pm 0.5\%$ 以下の差で、測定値と計算値が合致していればよい。第 16 表を見ると、これ

Fig. 14 サーミスター調節器を使用した場合の炉温の変動



以上の差がある場合がなければ、大体合致すると言つてよい。更に熟練すれば、完全に成功するものと考えられる。

測定値のはらつきも十分小さく、満足出来る精度で測定出来た。

第 15 表 合致法による熱膨脹測定の例 (D-3)

R : Cd Red Line による縦の暗黒部

G : Cd Green " "

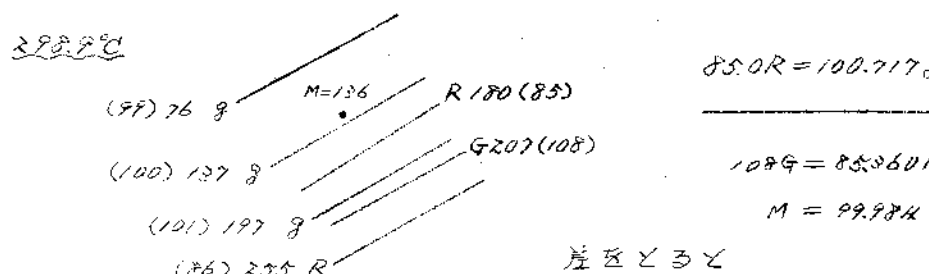
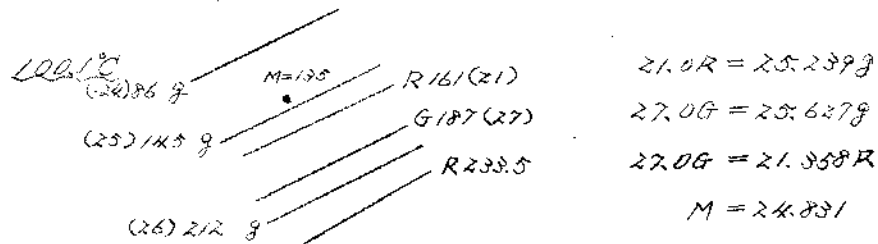
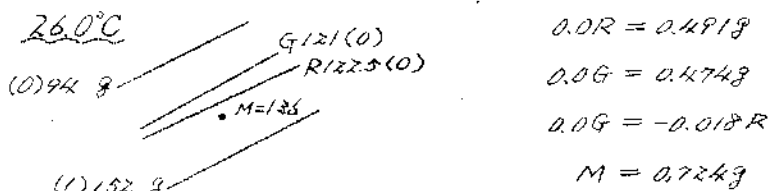
G : Hg Green " "

M : 目標尺の座標

縦の数字は Ocular Micrometer の読み

横の括弧内の数字は縦の次数（但し、便宜の縦をりとする）

() 内は計算値



左区ごとく

at -100°C 附近では $27G = 21.826R (21.34R)$
 $21R = 24.748g (24.78g)$
 $27G = 25.153g (25.15g)$

at -300°C 附近では $108G = 85.378R (85.35R)$
 $85R = 100.226g (100.26g)$

第 16 表 LM-2 酸素標準の測定結果

試料の長さ $\times 860 \pm 0.0018^{\text{mm}}$ R : Col Red G : Hg Green } 各示す。
G : Cd Green }

() 内の値は計算値

第 1 回 測定	第 2 回 測定	第 3 回 測定	第 4 回 測定		
温度	目標点の座標	温度	目標点の座標		
26.0°C	0.038	26.0°C	0.228		
* 100.0	* 2.972	99.3	28.388		
30.5°C	0.127	27.1	99.988		
$\Delta t - 100 = 95.8 \times 10^{-3}^{\circ}\text{C}$		$\Delta t - 100 = 92.9 \times 10^{-3}^{\circ}\text{C}$			
$\Delta 100 - 300 = 108.5$		$\Delta 100 - 300 = 108.4$			
$\Delta t - 300 = 105.0$		$\Delta t - 300 = 104.7$			
$25G = 19.87R$ (19.76)		$24G = 18.58R$ (18.77)			
$19R = 22.43G$ (22.41)		$19R = 22.47G$ (22.43)			
$25G = 23.33G$ (23.31)		$24G = 23.36G$ (23.36)			
$109G = 86.10R$ (86.14)		$107G = 84.51R$ (84.58)			
$85R = 100.37G$ (100.19)		$85R = 100.28G$ (100.19)			
$109G = 101.57G$ (101.59)		$107G = 99.75G$ (99.67)			
(*印の値は誤差がある)					

e. 測定精度、測定装置についての討論

§14, a-4に於ける測定から、測定誤差が少くとも $\pm 5\%$ 以下となつてあり、理論的に予期されるのと同一の程度にする事が判つた。従つて此の測定法は確実に完成したわけである。

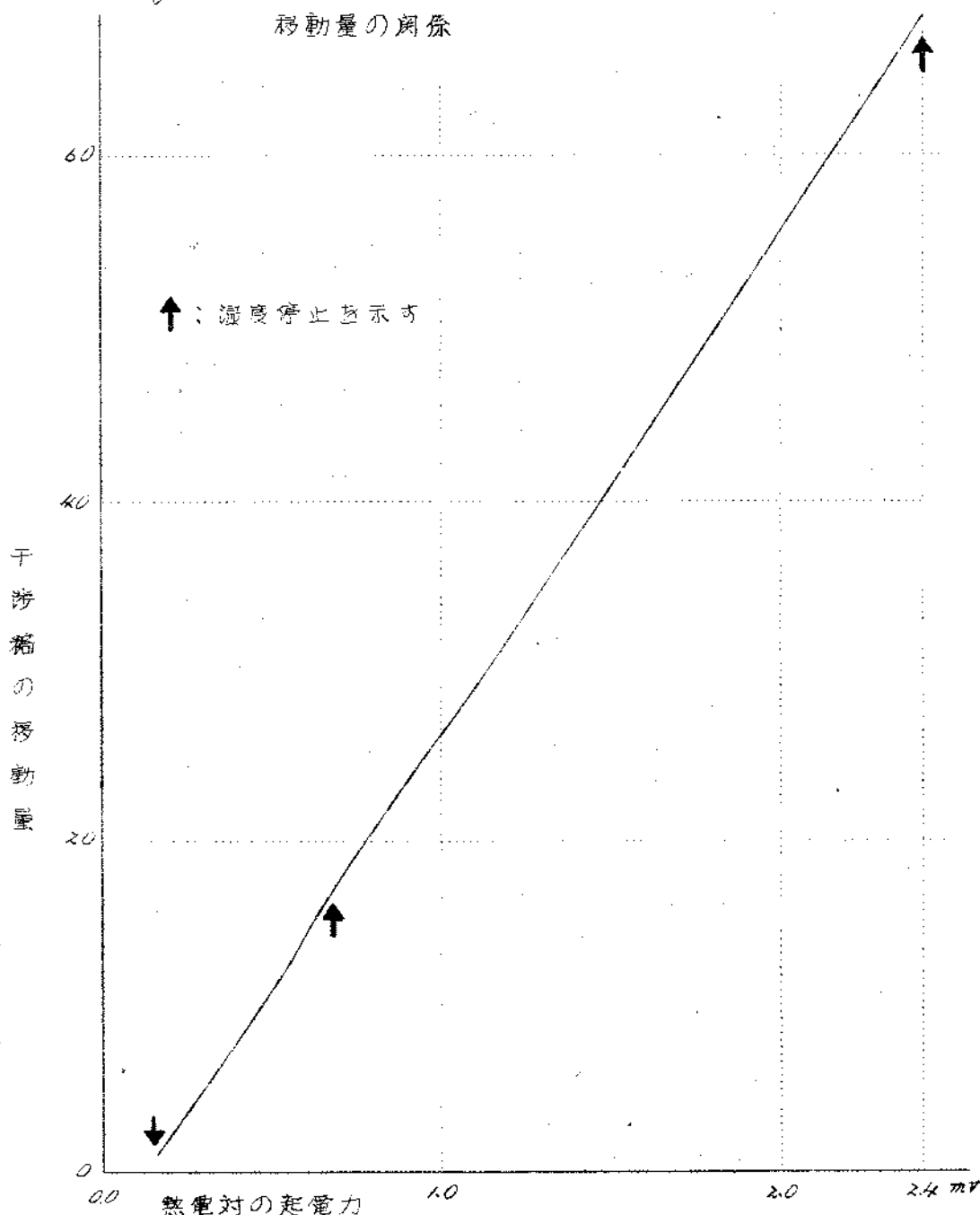
Saunders⁽²⁾は、一例に作られた試料についても、熱電対と干渉鏡との熱膨脹の差により、Set の状態が変化するため、calibrating に難儀した誤差を報告しているが、我々は此の影響を見出しき事が出来なかつた。此の事は、測定方法が異なる事により説明出来る。即ち、Saunders は温度を上昇させながら測定しているが、我々は温度は十分長い間（5~10分間）一定にして後に、測定しているので、温度上昇中に Set の状態が変化しても、最後には再び安定

してしまう。一体に作られた試料である限り、安定化してしまえば、*drying* 算が起り得ない事は、十分考えられる。

Sauerbrey⁽⁵⁾は試料に附着した *surface film* についても実験し、*surface film* のために較波長程度の誤差が起るが、試料を 230°C まで加熱されば影響がなくなると言っている。我々は試料を 300°C に予熱しているから、これによる誤差はない筈である。但し、我々の経験によると、少くとも硝子試料の場合、彼の誤差の評述は過大であると重ねられる。

温度上昇中に、熱電対の起電力と、目標実の産焼とを読み、大きさを横軸、

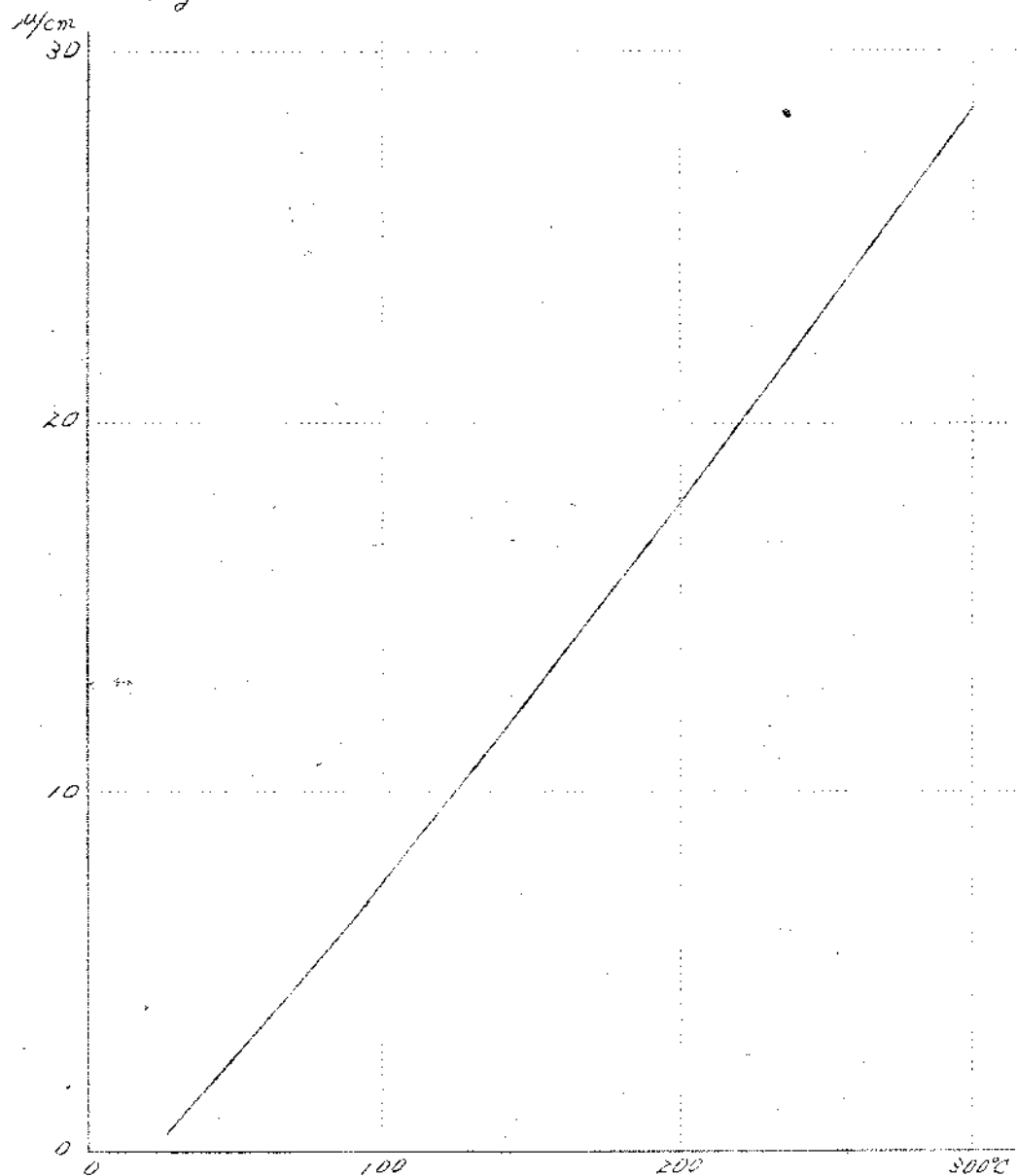
Fig. 20 測定時ににおける熱電対の起電力と干涉管の移動量の関係



機械に取つて作つた圖を Fig. 20 に掲げる。断直線をなさけれども、温度を上げ始めた時は曲線が下を向き、温度上昇を停止した際は上を向く。此の事は試料の温度が、熱電対の熱電気の温度より遅れるのが主な原因である。それで、温度を停止する事なく、温度を上昇させながら測定する場合には、 $\pm 0.5 \times 10^{-3}/^{\circ}\text{C}$ の精度に達する事は困難と思われる。

\$14, a~c にゆたり、同一 LOT の LM-S 硝子について測定した結果、熱膨脹係数が試料により、僅か差がある事が判明した。即ち、\$14, a, b で測定した試料は、 $\Delta 100-300 = 108.0 \times 10^{-3}/^{\circ}\text{C}$, \$14, c で測定した試料は $\Delta 100-300 = 108.8 \times 10^{-3}/^{\circ}\text{C}$ \$14, a で測定した試料は $\Delta 100-300 = 109.4 \times 10^{-3}/^{\circ}\text{C}$, $109.0 \times 10^{-3}/^{\circ}\text{C}$, 反面 $107.2 \times 10^{-3}/^{\circ}\text{C}$ 横度の差がある。標準試料として使用する時に注意が必要である。タンク炉から採取した場合、場所により硝子の成分が多少変化しているのが原因であると思われる。

Fig. 21 LM-S 硝子の熱膨脹曲線



室温, 100°C, 300°C における熱膨脹の値から、LM-ズ硝子の熱膨脹曲線を作ることが出来る。(Fig.21) 温度により膨脹係数は大幅に変化するから、平均熱膨脹係数も、温度範囲により異なる。故に他社の差表値と比較する場合、温度範囲に注意しなければならない。

測定精度を良くするには、試料の長さを長くするのが手近な方法である。しかし、本装置は手元の干涉を利用しているので、試料の長さが長くなると干渉繩が不明瞭になる。繩を明瞭にするためには、Fig.1 の M においている孔を小さくしなければならない。その結果眼に達する光が弱くなり、望遠鏡や高倍率の Ocular Micrometer の使用が困難になる。本実験でも熱膨張しない時には、Ocular Micrometer による観測が困難で、測定値にも、繩の数え誤りと思われるものが現にあつた。然し、繩の幅や明瞭度により、望遠鏡の倍率を適当に調整する様にして、明瞭度は十分改良された。此のよう反理由、又、温度分布が不良になる事から、試料の長さを長くするにも限度があり、大体、試料の長さ 10~13mm 程度で、繩の幅を十分広くし、Ocular Micrometer で測定すると言う條件が最も良いと思われる。

5/次 各種硝子試料についての測定

前節までに述べた方法を用いて、各種硝子を測定した結果を述べる。測定の目的は、膨脹係数を知る事のほかに、他の膨脹計による測定値と比較する事、Curving の発表値と比較する事、等である。

a. 透明石英硝子

日本電気製 6mm の無空棒から Fig. 2(D) の形の試料を製作した。

試料の長さ 6.245mm (Screw Micrometer にて直接測定)

* $6.2426 \pm 0.001\text{mm}$ (合致法による)

温度を上昇しつつ、温度-熱膨脹特性を測定した。(Fig. 22)

$$\alpha_{kt-100} = 3.2 \times 10^{-7}/^{\circ}\text{C} \quad \alpha_{kt-300} = 6.1 \times 10^{-7}/^{\circ}\text{C} \quad \alpha_{100-300} = 6.3 \times 10^{-7}/^{\circ}\text{C}$$

である。

同一棒から、Fig. 2(G) の形の試料を作つて測定した結果は次の通りである。

補助試料の長さ	2.934mm	使用した光	Hg Green Line
温度 313°C	目標度の座標 0.60	$\alpha_{kt-100} = 5.5 \times 10^{-7}/^{\circ}\text{C}$	
100.35	0.91	$\alpha_{100-300} = 6.2$	"
300.1	2.00	$\alpha_{kt-300} = 6.0$	"

熱膨脹曲線には、読み誤差に基づくばらつきはあるが、監視度は見出せないようである。

b. 不透明石英硝子

日本電気製、外径 10mm の管から試料を作製した。

補助試料の長さ 11.303mm (Screw Micrometer による)

透明石英管の熱膨脹

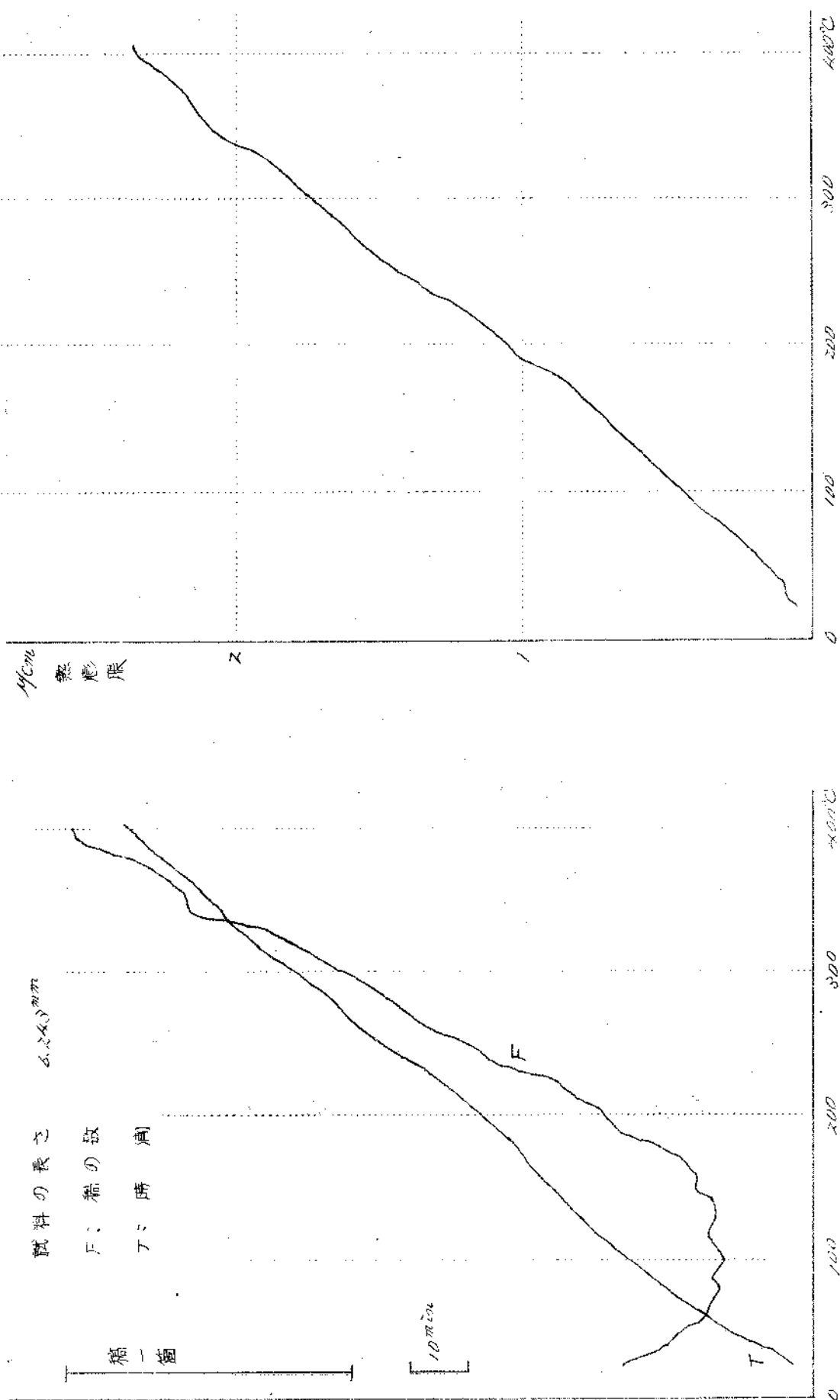
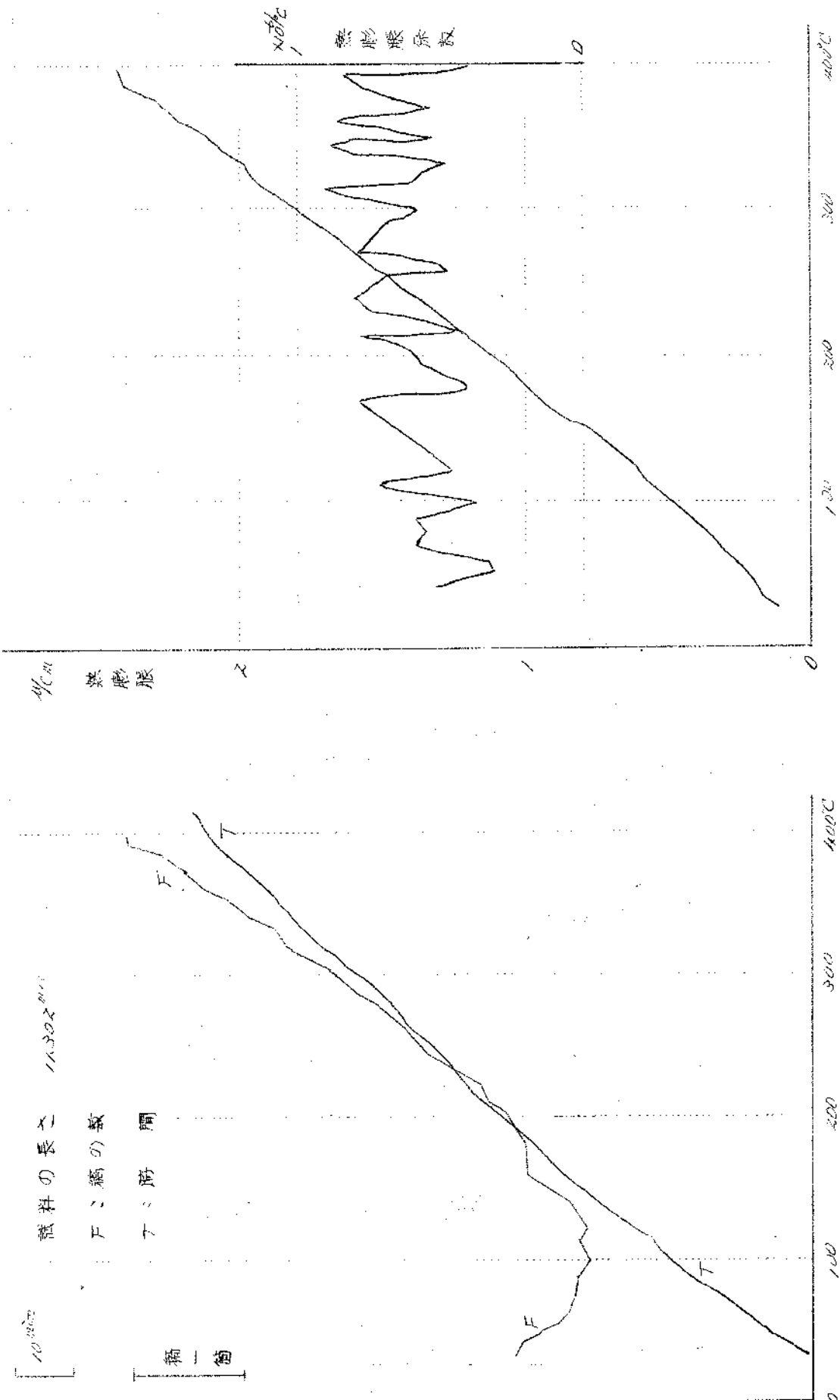


図22 不透 明 石英硝子の熱膨脹



試料の長さ $*11.3022 \pm 0.001 \text{mm}$ (合算法による) ($11.308 \pm 0.006 \text{mm}$)

測定結果は Fig. 2 の通りである。

$$\Delta t-t_{100} = 4.9 \times 10^{-3}\text{°C}, \Delta t-t_{300} = 5.7 \times 10^{-3}\text{°C}, \Delta t-t_{500} = 6.4 \times 10^{-3}\text{°C}$$

軸膨張は見出せぬいようである。100°C 每の膨脹率を計算してみても、読取誤差によるばらつきがあるだけで、膨脹率が変化したと思われる程度はない。以上より a, b の測定により、石英硝子の膨脹係数としては $\Delta t-t_{500} = 6.3 \times 10^{-3}\text{°C}$ であり、軸膨張は 400°C 以下にはないので、示差膨脹計の標準物質として使用出来ることが判つた。

C. LM-S 硝子 (標準管)

徐冷が膨脹係数に及ぼす影響を知る為に、ノ本の管の隣接した部分から輪をスリスリ、一方を 550°C まで加熱した後徐冷し、他方はそのまま、夫々試料とした。結果は次の通りである。

徐冷した試料		徐冷しない試料	
補助試料の長さ	試料の長さ	補助試料の長さ	試料の長さ
10.180mm	$*10.1839 \pm 0.001 \text{mm}$	11.097mm	$*11.0943 \pm 0.0035 \text{mm}$ ($11.0945 \pm 0.004 \text{mm}$)
使用した光 Hg Green Line			
温度	目標実の座標	温度	目標実の座標
25.5°C	0.29	27.0°C	0.31
102.7	20.83	101.8	27.49
270.5	102.75	304.45	114.35
$\Delta t-t_{100} = 95.8 \times 10^{-3}\text{°C}$		$\Delta t-t_{100} = 97.0 \times 10^{-3}\text{°C}$	
$\Delta t-t_{300} = 108.2$ "		$\Delta t-t_{300} = 108.9$ "	
$\Delta t-t_{500} = 105.4$ "		$\Delta t-t_{500} = 105.7$ "	

徐冷による膨脹係数の差はない。前徐冷した試料はより d の実験に利用した。S14, d における測定値と比較すると、室温が異なる事を考慮すれば、良く一致している。

此の標準管は、VMS 式膨脹計⁽²⁾ dial indicator による膨脹計⁽³⁾では同様も、 $\Delta t-t_{500} = 110 \times 10^{-3}\text{°C}$ と測定されて居て、本測定法による値とは、良く一致している。

d. R-S 硝子

PO-6-16 管の管から試料をスリスリ、徐冷の影響を見た。

徐冷した試料		徐冷しない試料	
補助試料の長さ	試料の長さ	補助試料の長さ	試料の長さ
11.616mm	$*11.6155 \pm 0.0015 \text{mm}$	11.612mm	$*11.6075 \pm 0.0010 \text{mm}$ ($11.612 \pm 0.007 \text{mm}$)
使用した光 Hg Green Line			
温度	目標実の座標	温度	目標実の座標
25.5°C	0.40	26.5°C	0.60
250.5	25.17	265.0	265.0

温 度	自標度の産標	温 度	自標度の産標
300.6°C	107.00	302.8°C	102.46
$\alpha_{rt}-100 = 35.5 \times 10^{-3}/^{\circ}C$		$\alpha_{rt}-100 = 35.8 \times 10^{-3}/^{\circ}C$	
$\alpha_{100}-300 = 94.5$	"	$\alpha_{100}-300 = 94.8$	"
$\alpha_{rt}-300 = 91.6$	"	$\alpha_{rt}-300 = 92.4$	"

餘冷した方が、僅か小さく測定される傾向がある。しかし差は測定誤差以内である。

VMS 式脇張計では、此の試料は $\alpha_{100}-300 = 95 \times 10^{-3}/^{\circ}C$ (餘冷した試料) と測定されて居り、本実験による測定値と良く一致している。

e. 板硝子

日本製硝板硝子から、Fig. 2(5)型の試料を作り、餘冷して測定した。

補助試料の長さ 12.133^{mm}

試料の長さ $*12.1343 \pm 0.0015^{mm} (12.136 \pm 0.003)$ Hg Green Line による。

温 度	自標度の産標
24.15°C	0.36
101.7	26.20
300.9	105.09

$$\alpha_{rt}-100 = 32.2 \times 10^{-3}/^{\circ}C$$

$$\alpha_{100}-300 = 92.5$$

$$\alpha_{rt}-300 = 89.6$$

f. Pyrex 硝子

G.E. 製 Sealed Beam の反射面の破片を削り、Fig. 2(E) 型の試料とした。試料の長さは Screw Micrometer で直接測定し、自標度の産標は目測した。

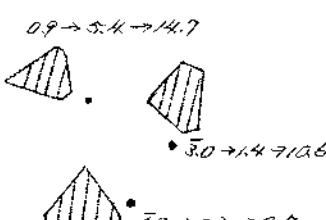
(精度 0.1) 測定結果は、Fig. 24 に掲げた。

$\alpha_{rt}-100 = 33.5 \times 10^{-3}/^{\circ}C$, $\alpha_{100}-300 = 34.0 \times 10^{-3}/^{\circ}C$ である。従つて、

Fig. 24 Pyrex 硝子の測定結果

第1回測定 $L_0 = 4.632^{mm}$ 第2回測定 $L_0 = 4.632^{mm}$

数字は自標度の産標を示す

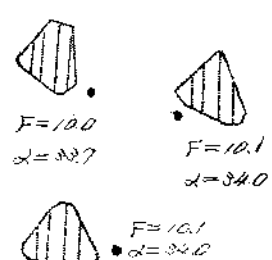


温度範囲

20.2°C ~ 117.0°C ~ 301.0°C

$$\alpha_{rt}-300 = \begin{cases} 33.4 \times 10^{-3}/^{\circ}C \\ 33.4 \quad " \\ 33.5 \quad " \end{cases}$$

$$\alpha_{100}-300 = \begin{cases} 34.1 \times 10^{-3}/^{\circ}C \\ 34.1 \quad " \\ 34.4 \quad " \end{cases}$$



温度範囲

105.3°C ~ 301.6°C

備考 Hg Green Line 使用

$\alpha_{0-300} = 34 \times 10^{-3}/^{\circ}\text{C}$ となり、Corning #7760 (Electrical Pyrex)についてのCorningの発表値⁽⁶⁾ $\alpha_{0-300} = 34 \times 10^{-3}/^{\circ}\text{C}$ と一致する。

g. Corning #0120 硝子

Corning製ブラウン管 J109½C1 の Neck tube の比重の測定値は 0.05 であった。Corning J109½C1 の Neck tube 成 #0120 と Corning Glass Works の information に指示してある。Fig. 25(c) 型の試料を用ひ徐々に削除して測定した。測定結果は Fig. 25 に掲げる。試料の長さは直角 SCREW MICROMETER で測定し、目標実の座標は目測で読み取つた。

$$\text{平均値として } \alpha_{0-100} = 82.4 \times 10^{-3}/^{\circ}\text{C}$$

$$\times 100-300 = 95.0 \text{ "}$$

$$\alpha_{0-300} = 91.6 \text{ " } \text{が得られる。}$$

今 $\alpha_{0-100} = 78 \times 10^{-3}/^{\circ}\text{C}$ と仮定すると、 $\alpha_{0-300} = 90.7 \times 10^{-3}/^{\circ}\text{C}$ であつて、Corningの発表⁽⁶⁾ $\alpha_{0-300} = 89 \times 10^{-3}/^{\circ}\text{C}$ と多少差がある。

VMS 式膨脹計による測定値から、此の硝子と類似のものと思われる硝子の測定値を載せてみると、次のようなものがある。

Corning 14" 角型ブラウン管 J109½C1 Neck tube $\times 100-300 = 95 \times 10^{-3}/^{\circ}\text{C}$

USA 12" ブラウン管 Neck tube $\times 100-300 = 98 \times 10^{-3}/^{\circ}\text{C}$

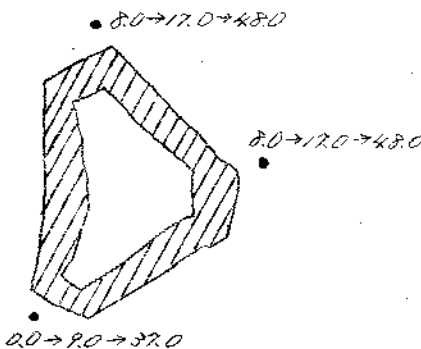
本実験値と Corning 製ブラウン管については良く一致している。

Fig. 25 Corning #0120 硝子と思われる試料の測定結果

数字は目標実の座標を示す。 Hg Green line.

第1回測定 $L_0 = 4.58 \text{ mm}$

第2回測定 $L_0 = 4.58 \text{ mm}$



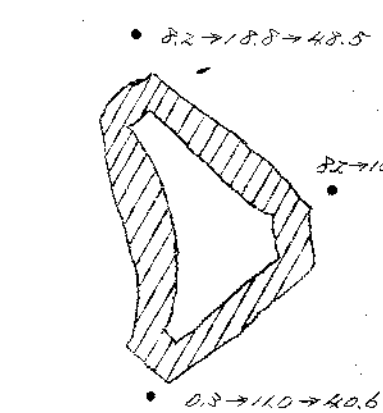
温度範囲

29.8°C ~ 102.0°C ~ 303.7°C

$$\alpha_{0-100} = 81.1 \times 10^{-3}/^{\circ}\text{C}$$

$$\times 100-300 = 95.2 \text{ "}$$

$$\alpha_{0-300} = 91.4 \text{ "}$$



温度範囲

21.3°C ~ 104.1°C ~ 298.0°C

$$\alpha_{0-100} = 89.7 \times 10^{-3}/^{\circ}\text{C}$$

$$\times 100-300 = 94.8 \text{ "}$$

$$\alpha_{0-300} = 91.7 \text{ "}$$

h. G.E. 製 #0080 硝子

G.E. 製電球バルブ（直徑約 80mm 内面つや消し）から Fig. 2(c) 型の試料を乍製し、徐冷して測定した。化學分析によると、Corning #0080 硝子と大体一致する。

測定結果は Fig. 26 に掲げる。

$\Delta_{\text{HT}-100} = 86.0 \times 10^{-3}/^{\circ}\text{C}$, $\Delta_{100-300} = 96.4 \times 10^{-3}/^{\circ}\text{C}$, $\Delta_{\text{HT}-300} = 92.9 \times 10^{-3}/^{\circ}\text{C}$ となる。 $\Delta_{\text{HT}-100} = 82 \times 10^{-3}/^{\circ}\text{C}$ と仮定して計算すると、 $\Delta_{100-300} = 92.1 \times 10^{-3}/^{\circ}\text{C}$ であつて、Corning の発表値⁽⁴⁾ $\Delta_{100-300} = 92 \times 10^{-3}/^{\circ}\text{C}$ と一致する。

VMS 式膨脹計の測定値から、同種硝子の測定値と思われるものを抜粋して次の通りである。

$$\text{G.E.電球} \quad \Delta_{100-300} = 97 \times 10^{-3}/^{\circ}\text{C}$$

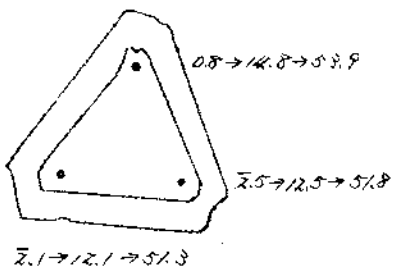
本実験の測定値と良く一致する。

Fig. 26 #80 硝子の測定結果

数字は目標窓の座標を示す。Hg Green Line による。

試料の長さ 5.840 mm

第 1 回測定



温 度 窓 領

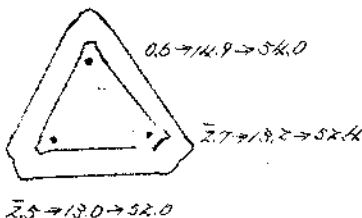
$21.5^{\circ}\text{C} \sim 104.7^{\circ}\text{C} \sim 304.1^{\circ}\text{C}$

$$\Delta_{\text{HT}-100} = 86.0 \times 10^{-3}/^{\circ}\text{C}$$

$$\Delta_{100-300} = 95.8 \text{ "}$$

$$\Delta_{\text{HT}-300} = 92.7 \text{ "}$$

第 2 回測定



温 度 窓 領

$21.7^{\circ}\text{C} \sim 107.0^{\circ}\text{C} \sim 304.7^{\circ}\text{C}$

$$\Delta_{\text{HT}-100} = 86.1 \times 10^{-3}/^{\circ}\text{C}$$

$$\Delta_{100-300} = 97.1 \text{ "}$$

$$\Delta_{\text{HT}-300} = 93.1 \text{ "}$$

i. CP-34 硝子

輪形試料によって測定した。650°C に加熱して、徐冷した事による、膨脹係数の変化を調べた。Hg Green line により測定した。

徐冷した試料

補助試料の長さ 10.244 mm

試料の長さ $10.2128 \pm 0.0071 \text{ mm}$

温 度 目標窓の座標

220°C

6.70

10.5°C

8.30

306.9

52.25

徐冷しない試料

補助試料の長さ 9.962 mm

試料の長さ $9.9625 \pm 0.0010 \text{ mm}$ ($9.958 \pm 0.0055 \text{ mm}$)

温 度 目標窓の座標

26.4°C

0.20

10.5°C

2.85

302.2

52.07

$$\alpha_{100-100} = 37.8 \times 10^{-3}/^{\circ}\text{C}$$

$$\alpha_{100-200} = 40.3 \text{ "}$$

$$\alpha_{100-300} = 38.7 \text{ "}$$

$$\alpha_{100-100} = 38.7 \times 10^{-3}/^{\circ}\text{C}$$

$$\alpha_{100-200} = 41.9 \text{ "}$$

$$\alpha_{100-300} = 41.2 \text{ "}$$

徐冷により $\alpha \times 10^{-3}/^{\circ}\text{C}$ 位小さくなる。

他の lot についての、異なる方法による測定を次に示す。

無空棒から Fig. 27 (A) 型の試料を作り、ス管は徐冷し、他はそのままとして、干涉板上に配置した。測定結果を Fig. 27 に示す。

Fig. 27 CP-34 硝子の測定結果 (I)

黒点は目標点

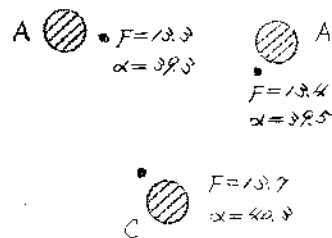
F: 管の移動量 Hg Green Line による。

α : 単位 $10^{-3}/^{\circ}\text{C}$

A: 徐冷した試料

C: 徐冷しない試料

第 1 回 测 定



温 度 范 围

100.0°C ~ 288.6°C

$L_0 = 5.10^4 \text{ mm}$

$\alpha_{100-300} = 38.2 \times 10^{-3}/^{\circ}\text{C}$ (徐冷した試料)

= $40.5 \times 10^{-3}/^{\circ}\text{C}$ (徐冷しない試料) である。

更に他の lot についての測定を Fig. 28 に示す。

Fig. 28 CP-34 硝子の測定結果 (II)

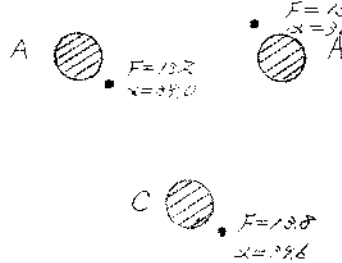
黒点は目標点

F: 干涉管の移動量 Hg Green Line による。

α : 単位 $10^{-3}/^{\circ}\text{C}$

C: 徐冷しない試料

第 1 回 测 定



温 度 范 围

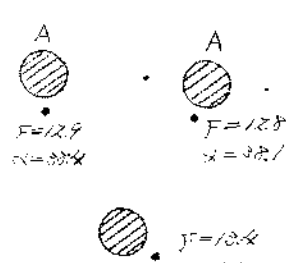
100.5°C ~ 293.5°C

$L_0 = 5.173 \text{ mm}$

$\alpha_{100-300} = 38.1 \times 10^{-3}/^{\circ}\text{C}$ (徐冷した試料)

= $38.7 \times 10^{-3}/^{\circ}\text{C}$ (徐冷しない試料)

第 2 回 测 定



温 度 范 围

101.0°C ~ 297.4°C

$L_0 = 5.175 \text{ mm}$

最後の試料については、dial indicator を使用した膨脹計による測定値がある。 $\alpha_{100-300} = 32.8 \times 10^{-3}/^{\circ}\text{C}$ (徐冷した試料、5回の測定の平均値)
 $= 32.6 \times 10^{-3}/^{\circ}\text{C}$ (徐冷しない試料、5回の測定の平均値)

測定値はよく一致している。

この値が、lot により可成差がある事も判明した。

J. Terelex 硝子

蒸空棒から、Fig. 2(G) 型の試料を作り、650°C に加熱、徐冷したための影響を調べた。Hg Green Line により測定した。

徐冷した試料

補助試料の長さ	$19.224 \pm 0.001 \text{ mm}$
試料の長さ	$19.224 \pm 0.005 \text{ mm}$
温度	目標差の産標
24.7°C	0.38
103.7	11.55
295.0	39.61
$\alpha_{100-100} = 32.0 \times 10^{-3}/^{\circ}\text{C}$	
$\alpha_{100-300} = 32.6$	"
$\alpha_{100-300} = 32.8$	"

徐冷しない試料

補助試料の長さ	19.229 mm
試料の長さ	$19.224 \pm 0.005 \text{ mm}$
温度	目標差の産標
24.7°C	0.00
103.5	9.57
295.7	40.80
$\alpha_{100-100} = 34.7 \times 10^{-3}/^{\circ}\text{C}$	
$\alpha_{100-300} = 35.0$	"
$\alpha_{100-300} = 34.9$	"

VM S 式膨脹計では、 $\alpha_{100-300} = 32 \times 10^{-3}/^{\circ}\text{C}$ (徐冷した試料) と測定されている。

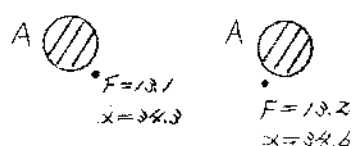
Fig. 29 Terelex 硝子の測定結果

黒点は目標差 F: 干渉縞の移動量 Hg Green line による。

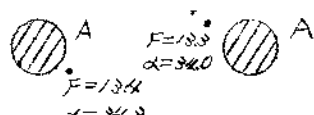
×: 平均熱膨脹係数 単位 $10^{-3}/^{\circ}\text{C}$ A: 徐冷した試料

C: 徐冷しない試料

第一回測定



第二回測定



温度範囲

98.5°C ~ 295.0°C

$\Delta L = 5.865 \text{ mm}$

温度範囲

101.6°C ~ 305.8°C

$\Delta L = 5.865 \text{ mm}$

他の lot の試料により、他の方法で測定した例を Fig. 2P に示す。

$\alpha_{100-300} = 34.8 \times 10^{-3}/^{\circ}\text{C}$ (徐冷した試料)

$= 32.6 \times 10^{-3}/^{\circ}\text{C}$ (徐冷しない試料)

此の試料については、dial indicator を使用した膨脹計による測定値がある。
 $\alpha_{100-300} = 30 \times 10^{-7}/^{\circ}\text{C}$ (徐冷した試料、5回の測定の平均値)
 $= 34.7 \times 10^{-7}/^{\circ}\text{C}$ (徐冷しない試料、5回の測定の平均値)
 一致は良好である。

a. RB-50 硝子

無空棒から Fig. 2 (g) 型の試料を作り、測定した。Hg Green line による
 徐冷した試料 徐冷しない試料

補助試料の長さ	2.946mm	補助試料の長さ	$10.826^{+0.002}_{-0.001}\text{mm}$
試料の長さ	$12.949 \pm 0.002\text{mm}$	試料の長さ	$10.8190 \pm 0.0020^{+0.001}_{-0.002}\text{mm}$
温度	目標差の座標	温度	目標差の座標
28.5℃	0.72	25.0℃	0.81
102.8	14.49	104.0	12.50
298.5	56.68	302.4	52.73
$\alpha_{100-100} = 46.5 \times 10^{-7}/^{\circ}\text{C}$		$\alpha_{100-100} = 47.4 \times 10^{-7}/^{\circ}\text{C}$	
$\alpha_{100-300} = 49.2$	"	$\alpha_{100-300} = 52.5$	"
$\alpha_{100-300} = 46.5$	"	$\alpha_{100-300} = 51.1$	"

同一の試料について VMS 式膨脹計は $\alpha_{100-300} = 50 \times 10^{-7}/^{\circ}\text{C}$ と測定している。

2. 射 論

以上の測定結果から見て、干涉を利用した膨脹計が、十分な精度を有している事が判つた。又他の型式の膨脹計による測定値と比較して、 $\alpha_{100-300} = 30 \sim 110 \times 10^{-7}/^{\circ}\text{C}$ なる範囲の硝子については、 $1 \times 10^{-7}/^{\circ}\text{C}$ 以上の差のある測定値を示す事もなかった。故に現在用いられている膨脹計は、十分正確な値を示している事が判明した。Corning の発表値との比較を行つても、満足の一一致が得られて、その実力も本装置による測定の正確度が確められた。

此の測定法に関しては、完全な自信が持てる事になつたわけである。

3.6. 金属の金属試料についての測定

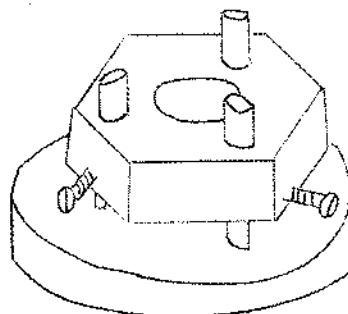
金属の性質は、熱履歴、成型法等により著しく変化するものであるから、単に1箇の試料につき熱膨脹を測定しても無意味な事が多いた。しかし、特定の試料について、熱膨脹を知る必要は極めてある。金属試料は形状が制限される場合があるが、干涉による膨脹計は試料が小さくて良いので、有利である。以下には、観察まで必要な測定した例を挙げて、此の測定法が金属にも有効に利用出来る事を示そうとするものである。

a. W 及び Mo についての測定

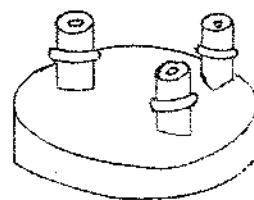
金属板状技術課の試料である。Fig. 2 (A) の様に鉄プロックに組合せて測定した。測定結果は Fig. 3 に示す。恐らく熱電対の接点と試料の温度とは、差がある事が考えられ、此の差が此の測定値の誤差であ

る。

Fig. 30 試料の形状



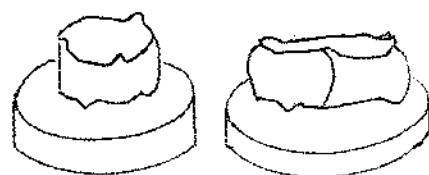
(A)



(B)



(C)



(D)

b. Kovarについての測定

Ge diode の極として使用されたもの。長さ 3.98mm である。Fig. 30(B) の形である。結果は Fig. 32 に示す。

c. Sylvanite #4 metal についての測定

プラウン管の Cavity Cap であり、その形のまゝ、多少削つて試料とした。Fig. 28(C) の形である。米国より Cavity Cap の形で入荷したものと、板で入荷し社内で成型したものについて測定した。試料の長さは夫々 2.52mm 及び 2.97mm である。結果は Fig. 32 に示す。二つの試料の間に著しい差はない。

d. 鋼金についての測定

金属材料技術課試料。直径 11mm の棒から試料を切出し、軸方向と半径方向の膨脹を測定した。試料は Fig. 28(D) の形で長さは夫々 2.540mm , 2.514mm である。結果は Fig. 31 に示す。二つの方向に対する熱膨脹に著しい差はない。

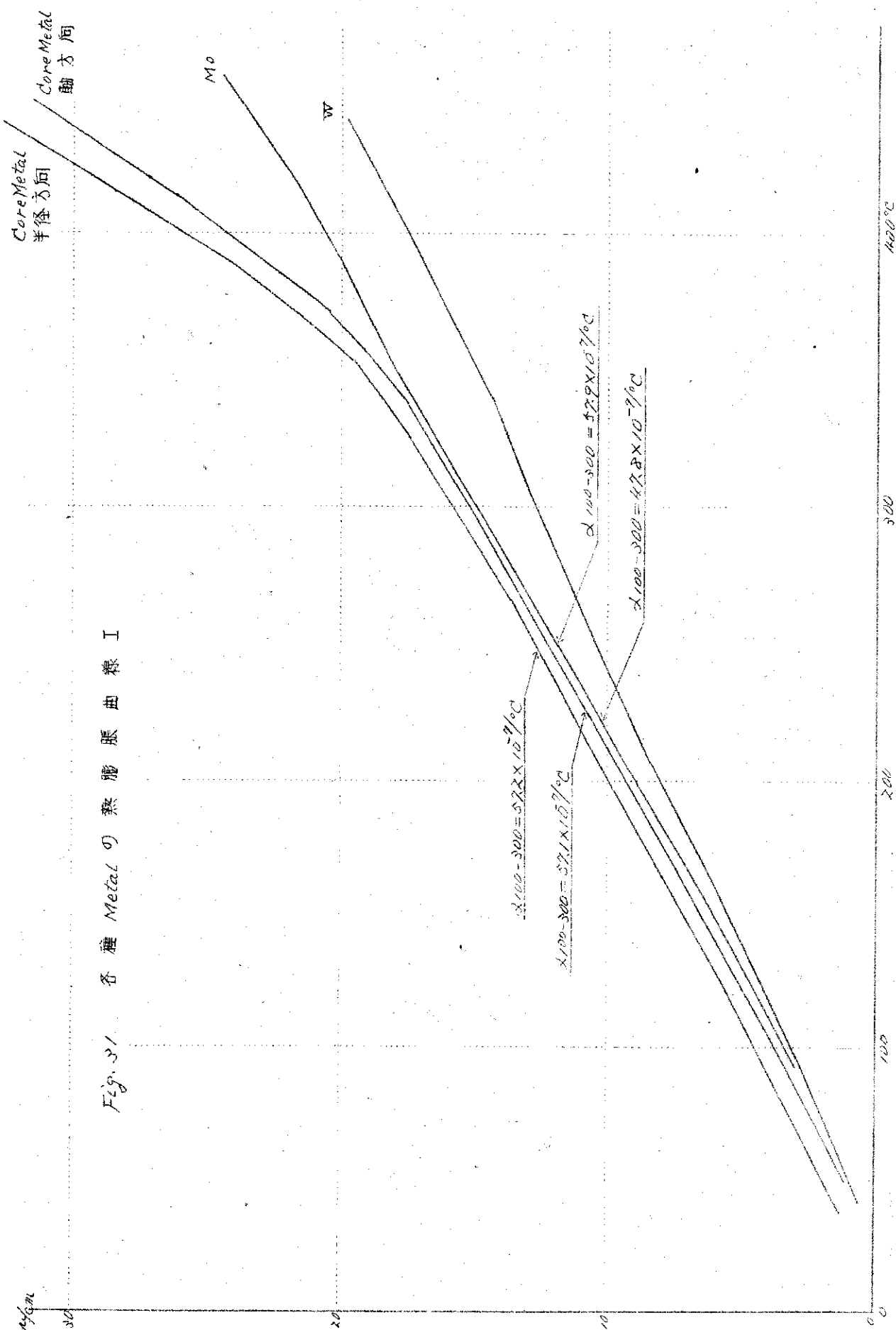
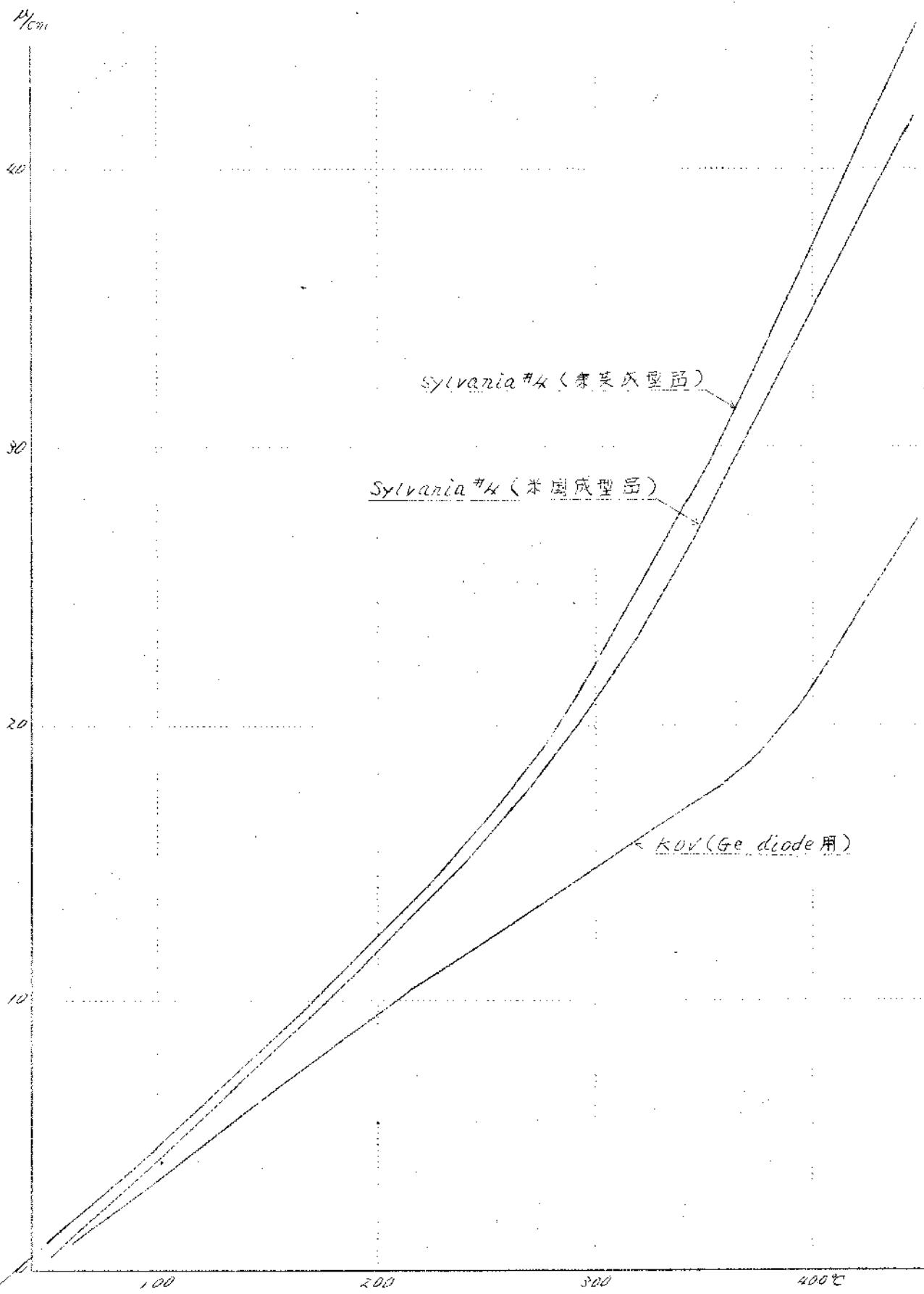


Fig. 32 各種 Metal の熱膨脹係数 II



本報告に関する諸権利は、総て東京芝浦電気株式会社に属する

東京芝浦電気株式会社 管球技術部

§12. 総括及び結語

光の干渉を利用して、正確な熱膨脹係数を測定する方法について、理論的実験的に研究し、考えらるる誤りの誤差の原因を検討した。更に正確な測定を行うために必要な手段を各種提案した。又、干渉縞の移動を観察する事を必要とせず、従つて誤りの可能性を除いた方法を確立して、測定を簡易化する事が出来た。

此の装置による測定値を、米国 Corning 硝子会社の値、及び当課で採用されていいる示差膨脹計による測定値と比較し、良く一致する事が判明した。

又、各種金属等、特殊な形状をしている試料につき、そのまま形を変化する事なく測定し得る事も判り、応用方面が拡大した。

此の方法以上に精密に測定する事は、相当大掛かりな実験となり、困難である。

此の方法が確立されたので、現用の他の型式の膨脹計を常に正確な値が得られる状態に保つ事が可能になつたほか、此の測定法は他の膨脹計とは異なつた特徴を持つてゐるので、形の小さい試料、膨脹係数の小さい試料に対して有利である事も判つた。今後、適用される事が期待出来る。

- (1) Merritt. *The Interference Method of Measuring Thermal Expansion.*
Journ. Res. Nat. Bur. of Standard Vol 10 P 57 (1933)
- (2) Saunders. *Improved Interferometric Procedure with Application to Expansion Measurement.*
Journ. Res. Nat. Bur. of Standard Vol 23 P 179 (1939)
- (3) 例えば、本内、光 P 210 (岩波全書)
- (4) Saunders. *An Apparatus for Photographing Interference Phenomena.*
Journ. Res. Nat. Bur. of Standard Vol 35 P 157 (1934) 43
- (5) Perard. *Travaux et Mémoires du Bureau International des Poids et Mesures Vol 18 P 78 (1934)*
- (6) *Properties of Selected Commercial Glasses*
Corning Glass Works (1949)
- (7) 真空管材料規格 VMS 31 (2-A) 第二條
- (8) 管球技術部技術報告第 187 号

以上